

# SUBATOMÄR FYSIK

Förelässare :

Tomas Nilsson

Anteckningar:

Karin Skoglund Keiding

2012



# FUF050: SUBATOMÄR FYSIK

120312

"Nuclear and Particle Physics: An Introduction"

B.R. Martin, Wiley

Tentla max 75 p, inlämningar max 25 p

24 Maj

Ilämna in senast 18 Maj

3:a 40 p

4:a 60 p

5:a 80 p

Anmäl dig till labbarna!

< atomer

Atom  $10^{-10}$

Kärna  $10^{-14}$  

Nukleon  $10^{-15}$

Kvarkar

HISTORISKT:

Rutherford spridning  
Thomson

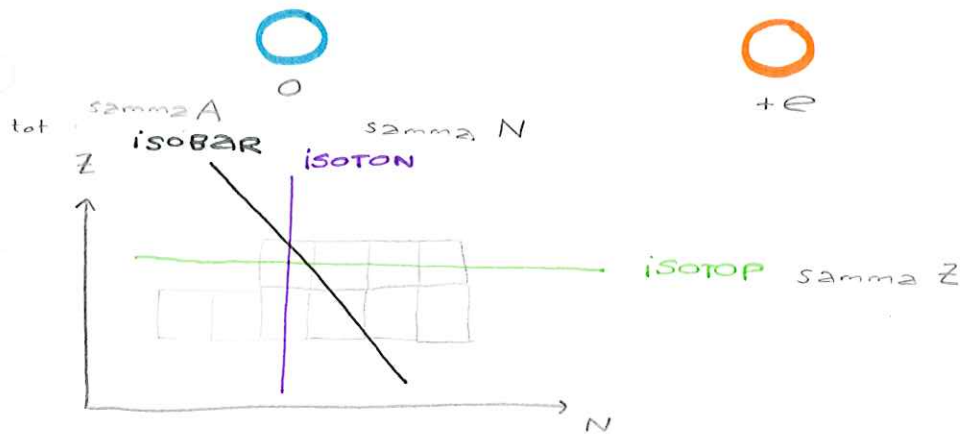
$$\frac{d\sigma}{d\Omega} = \left( \frac{Z_1 Z_2 e^2}{4\pi \epsilon_0} \right)^2 \left( \frac{1}{4T\alpha} \right)^2 \frac{1}{\sin^4 \frac{\theta}{2}}$$

hur sprids m. vinkel  $\theta$

Geiger

NEUTRON

PROTON



$$\frac{\Delta m}{m_n} = 0.137 \%$$

$$\text{tot nukleoner} \\ A = N + Z$$

Nuklidkarta

~290 stabila kärnor

flera 1000 instabila isotoper

# Standardmodellen

## CONSTITUENTS

### QUARKS

UP	CHARM	TOP
DOWN	STRANGE	BOTTOM

### LEPTONS

e <sup>-</sup>	MUON	TAU
e <sup>-</sup>	MUON	TAU

HIGGS! i.e.  
boson

## FORCES

### BOSONS



Kommer även se på radioaktivitet, fission, fusion, LHC och liknande, bakåt i universums historia

## KAPITEL 2.

### 2.2:

enligt Rutherford är atomkärnan liten  $\ll 10^{-10} \text{ m}$   
men hur liten?

undersök laddningsfördelningen

vi behöver en prob m. mkt kort våglängd  
dvs så att den påverkar

↗ elektroner med de Broglie våglängd  $\lambda = \frac{h}{p}$   
beskjuter alltså t.ex <sup>58</sup>Ni, <sup>48</sup>Ca med

$E_e = 450 \text{ MeV}$  resp  $E_e = 750 \text{ MeV}$ .

ser på hur mkt som sprids beroende på vinkel  
med kinetisk energi

$$T_e = 450 \text{ MeV}$$

$$E = mc^2$$

vad är p?

$$m_e = 0.511 \text{ MeV}/c^2$$

$$E^2 = p^2 c^2 + m_0^2 c^4$$

räkna relativistiskt

$$m_p = 938 \text{ MeV}/c^2$$

$$pc = \sqrt{E^2 - m_0^2 c^4} = \sqrt{(T + m_0 c^2)^2 - m_0^2 c^4}$$

$$= \sqrt{T^2 + 2m_0 c^2 T} \approx T$$

$\approx 1 \text{ MeV}$

vid relativistiska hastigheter,

alltså  $p_c \approx T$  för  $T \gg m_0 c^2$

$$\lambda = \frac{hc}{p_c} \approx \frac{hc}{T} = \left\{ \begin{array}{l} hc = 1239.8 \text{ MeV} \cdot \text{fm} \\ T = 450 \text{ MeV} \end{array} \right\} = 2.76 \text{ fm}$$

i Appendix E:  $hc = 1.973 \cdot 10^{-16} \text{ GeV} \cdot \text{m}$

se kärna så då  $hc = 2\pi R c = 12.398 \cdot 10^{-16} \text{ GeV} \cdot \text{m}$

vi tar från optiken och tänker oss spridning  
vid en "svart disk", se på första minimum:

$$\sin \theta_{\min} = \frac{1.22 \lambda}{D} \quad \frac{D}{2} = R = \frac{1.22 \cdot 2.76}{2 \cdot \sin(25^\circ)} \text{ fm}$$

denna för  $^{58}\text{Ni}$  alltså.

$$\approx \underline{\underline{4 \text{ fm}}}$$

fig 2.5 i boken, vi kan se på hur laddningsfördelning ser ut då varierar avstånd från mitten [fm].

hur protonerna i kärnan fördelar sig alltså.  
Vi ser att laddn. fördelning  $\sim$  konstant  
upp till viss r, sen avtar mjukt mot 0.

alltså  $\rho(r) \approx \text{konstant}$

$$\frac{\text{massa}}{\text{volym}} \frac{A}{\frac{4}{3} \pi R^3} \approx \text{konstant} \quad \begin{matrix} \text{ty massan oc A} \\ \text{antal nukleoner} \end{matrix}$$

$$R = R_0 A^{1/3}, \text{ där } R_0 \approx 1.2 \text{ fm}$$

stämmer inte för alla, ex. neutronika

## 2.1: Massa

Kärnans massa är direkt relaterad till dess bindningsenergi

$$B = \left[ Z \cdot m(^1H) + N \cdot m_n - m(^A_x) \right] c^2$$

E plötska  
isär  
till dess  
beständs-  
delar

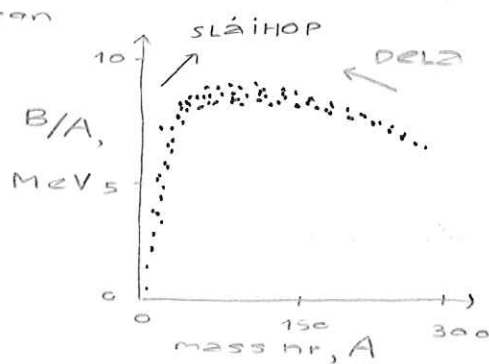
# protoner  
 ${}^1H$ ,  
får med  
e också.

eller dräkt om.. E ut dä delar

sammansatt

$B/A$  hur starkt är den genomsnittliga nukleonen bunden?

per nukleon



då små mass nr,  
tjänar på att  
slå ihop lätt  
kärnor, fusion

då höga mass nr,  
lägre E då  
tar isär, fission

vid max, kan ej få ut  
energi från de ämnen, Fe t.ex.

hur har vi då kunnat få tyngre ämnen?

mätta massa:

gör stråle, igenom magnetfält, se hur avriker

$$v = \frac{E}{B} \quad r = \frac{mv}{qB}$$

ej så exakt.

$$m = \frac{qrB^2}{E}$$

mätta läge  
och B  
mkt  
bra

Pennings trap, laddad partikel in i B-fält  
cirklarörelse.

Cyclotron frekvens

$$\nu_c = \frac{1}{2\pi} \frac{q}{m} B$$

mätta frekvens,  
går lätt!

skapar C-kluster,  $\frac{1}{12}$  av  $^{12}C$  är 1 massenhet

$$E = mc^2$$

120314

energi är ekvivalent med massa

t.ex lys m. ljus på föremål, exciteras, liksom tyngre

## 2.3: Semi-empirisk massformel

Parametriserar kärnans massa

$B \propto A$  dvs då ungefär konstant, bortsedd från de lättare,  $B/A$  MeV

får då en yttermatrm,

nukleonerna växelverkar

- enbart med närmsta grannar  
inte  $A(A-1)$

$$B = a_v A \quad \text{där } a_v \approx 8.3 \text{ MeV}$$

MEN det är ju kvantmekaniskt system, vägfkt's r egentligen,

men tänker ändå att en del är på ytan, ej växelverka m. lika många,

en yttermatrm  $\propto A^{2/3}$

alltså

$$B_s = a_v A - a_s A^{2/3}$$

$$a_v = 15.5 \text{ MeV}$$

$$a_s = 17.2 \text{ MeV}$$

$$\text{då } R = R_0 A^{1/3}$$

och så

ytan  $4\pi R^2$

men vi har ej tänkt på att det är

laddade partiklar! dvs en Coulombterm

vareje proton rr med  $(Z-1)$  andra genom

Coulombrepulsion, i en sfär med radie  $R_0 A^{1/3}$

$$B_c = B_s - 2c \frac{Z(Z-1)}{A^{1/3}}$$

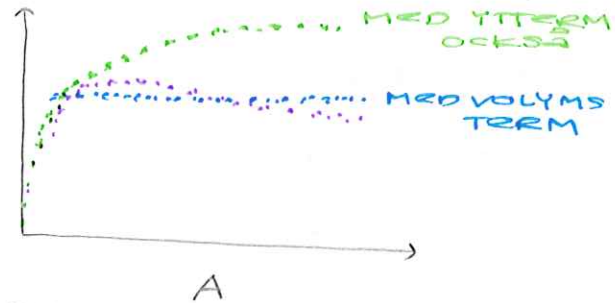
$$a_v = 15.5 \text{ MeV}$$

$$a_s = 17.2 \text{ MeV}$$

$$a_c = 0.7 \text{ MeV}$$

fördel m. många neutriner?

$$A^{1/3} \text{ mot Coulomb energi} \propto \frac{q_1 q_2}{R}$$



varför inte bara ha neutroner?

slipper problem med Coulombrepulsion

### PÅ NUKLIDKARTAN:

för lätta, ~ lika många N och Z, stabila isotoper  
som påverkar Coulomb och stör, dvs ändrar  
hur stort utrymme som passar med.

### ALLTSÅ:

lätta atomer  $N \approx Z$  ger max i bindning  
"massparabel"

$$-2\alpha_{asym}(Z - A/2)^2/A$$

hur starka växelverkan funkar:

kort räckvidd och bäst att occupera  
tillstånd med  $N \approx Z$  alltså.

Var ligger maximum i BE för ett givet A?  
söker alltså stabila isotoper dä.

$$\begin{aligned} \left(\frac{\partial M}{\partial Z}\right)_{A \text{ konstant}} &= \left(\frac{\partial}{\partial Z}\right) \left[ Z \cdot m(^1H) + N \cdot m_n - B(A, Z)/c^2 \right] \\ &= m(^1H) - m_n - \frac{1}{c^2} \left(\frac{\partial B}{\partial Z}\right)_{A \text{ konstant}} \end{aligned}$$

Använt SEMF:

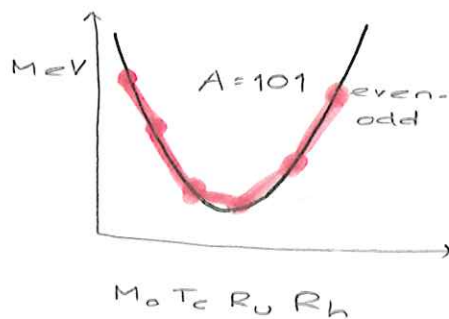
$$\frac{\partial B}{\partial Z} = -\alpha_c (2Z-1) A^{-1/3} - \alpha_{asym} 2(Z-A/2) A^{-1}$$

$$\frac{\partial M}{\partial Z} = 0 \text{ ger } [m_n - m(^1H)] c^2 = \alpha_c \frac{(2Z-1)}{A^{1/3}} + \alpha_{sym} \frac{(2Z-A)}{A}$$

$$Z_{min} = \frac{[m_n - m(^1H)] c^2 + \alpha_c A^{-1/3} + \alpha_{sym}}{2\alpha_c A^{1/3} + \alpha_{sym} \frac{2}{A}}$$

$$\approx \frac{A}{2} \frac{1}{1 + A^{2/3} \frac{\alpha_c}{\alpha_{sym}}}$$

om vi plottar i 3d får alltså en "stabilitetsdal" dvs lägst massa / nukleon ex.



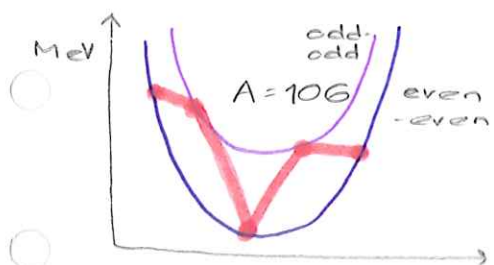
dvs kommer att få  $\beta^-$ -sönderfall från

Mo till Ru för att få mer stabilt tillstånd

från Rh till Ru istället  $\beta^+$

här istället 2 möjliga!

båda udda eller jämna alltså.



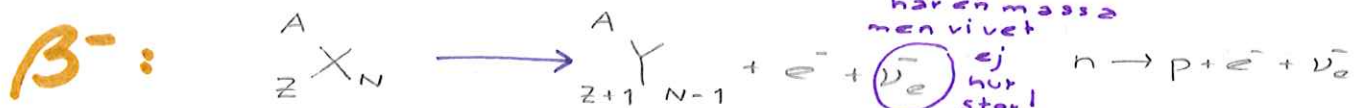
vi har dessutom en parterm:

$$\delta = \begin{cases} + \alpha_p A^{-3/4} & \text{om } N, Z \text{ jämna, dvs j-j kärna} \\ - \alpha_p A^{-3/4} & \text{om } N, Z \text{ udda} \\ 0 & \text{u-j, j-u} \end{cases}$$

para ihop MER BUNDEN!

## 2.6: $\beta^-$ -sönderfall

beror på svag vv



process måste vara exoterm!  $E$  ut!

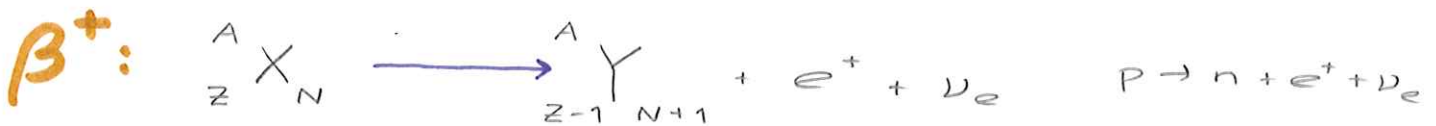
$$Q = [m(Z, A) - m(Z+1, A) - m_e] c^2$$

massa kärna i början  
massa kärnan efter och en "ensam"  $e^-$ !

$$\approx [M(Z, A) - Z \cdot m_e - (M(Z+1, A) - (Z+1)m_e) - m_e] c^2$$

massa atom struntar i skillnad bindning)

$$= [M(Z, A) - M(Z+1, A)] c^2$$



bara internt i kärnan,  
kan ordna om stark vv

$$Q = [m(Z, A) - m(Z-1, A) - m_e]c^2$$

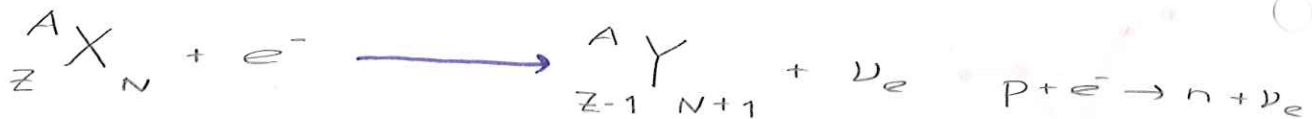
$$\approx [M(Z, A) - M(Z-1, A) - 2m_e]c^2$$

dvs en  
 $\Delta m \approx 1 \text{ MeV}$   
Pga  $2m_e$

en del sönderfall stoppas som har för högt Q-värde  
men vi hamnar ej i ett helt ogoott läge pga:

### ec:

(elektron infångning)



$$Q = [m(Z, A) + m_e - m(Z-1, A)]c^2 - B_e$$

$$\approx [M(Z, A) - M(Z-1, A)]c^2 - B_e$$

ryckt loss  
 $e^-$  ur  
bundet  
tillstånd

här istället  
mkt mindre  
 $\Delta m \approx \text{keV}$

svårt att detektera  $\nu_e$ !

MEN med röntgen kan vi se  
förändring i  $e^-$  struktur.

### 2.5: Radioaktivt sönderfall

Vadje kärna sönderfaller helt oberoende med  
en given sannolikhet / tidsenhet

$$-\frac{dN}{dt} = \lambda N \quad \text{ger oss} \quad N = N_0 e^{-\lambda t}$$

$$N(t=0)$$

halveringstid:

$$\text{då } N = \frac{N_0}{2} \text{ alltså}$$

$$\text{ger oss } t_{1/2} = \frac{\ln 2}{\lambda}$$

medellivslängd:

$$\tau = \frac{\int_0^\infty t \left| \frac{dN}{dt} \right| dt}{\int_0^\infty \left| \frac{dN}{dt} \right| dt} = \frac{1}{\lambda}$$

mest  
sannolika  
tid för ett  
sönderfall alltså,

## aktivitet :

$$A(t) = -\frac{dN}{dt} = \lambda N_0 e^{-\lambda t} = \lambda N$$

GOOD TO REMEMBER

direkt  
samband  
mellan de två!

## produktion av radioaktivitet:

$R(s^{-1})$  bildas, men vi har sönderfall

$$\frac{dN}{dt} = R - \lambda N \quad -\frac{1}{\lambda} \ln(R - \lambda N) = t + A$$

$$\int \frac{dN}{R - \lambda N} = \int dt \quad R - \lambda N = e^{-\lambda t - \lambda A} = B e^{-\lambda t}$$

$$N(t) = \frac{R}{\lambda} \left( 1 - \frac{B}{R} e^{-\lambda t} \right)$$

○  $N(t=0) = 0$  ger  $C=1$

$$N(t) = \frac{R}{\lambda} \left( 1 - e^{-\lambda t} \right)$$

t.ex. tillämpningar på Sahlgrenska, om ex 90% till 95%. är ju bättre att börja om m. behandling

sönderfallskedjor,

dvs får flera delar ihop då de olika  $\lambda_1, \lambda_2, \lambda_3$  ex. dotterkärnar osv.

### 1.6.3: Sönderfall, generellt

tidsber. vågfunktion för ett kvanttillstånd  $n$ , energi  $E$ ,

$$\Psi(t) = \Psi(0) \cdot e^{-\frac{iEt}{\hbar}}$$

om  $E$  reell så är sannolikheten att hitta partikeln  $|\Psi(t)|^2 = |\Psi(0)|^2$

dvs tillståndet lever oändligt länge,  
inget sönderfall.

Lägg till imaginär term i energin:

$$E' = E_0 - \frac{1}{2}i\Gamma \quad \text{dvs}$$

$$\Psi(t) = \Psi(0) e^{-\frac{iE_0 t}{\hbar}} e^{-\frac{\Gamma t}{2\hbar}}$$

sannolikheten då

$$|\Psi(t)|^2 = |\Psi(0)|^2 e^{-\frac{\Gamma t}{\hbar}}$$

avtar exponentiellt med tiden, som vi väntar oss!

$$\lambda = \frac{\Gamma}{\hbar}$$

påverkar tillägget till energin kvanttillstånd?

vi vill ha  $\Psi(E)$  istället för  $\Psi(t)$

då  $E = \hbar\omega$  gör vi en transform

från tid till frekvens

$$g(\omega) = \frac{1}{\sqrt{2\pi}} \int_{-\infty}^{\infty} f(t) e^{i\omega t} dt \quad \text{generellt,}$$

för oss

$$g(\omega) = \frac{1}{\sqrt{2\pi}} \Psi(0) \int_0^{\infty} e^{i(\omega - \frac{E_0}{\hbar})t} \cdot e^{-\frac{\Gamma t}{2\hbar}} dt = \frac{\Psi(0)}{\sqrt{2\pi}} \frac{i\hbar}{(\hbar\omega - E_0) + \frac{i\Gamma}{2}}$$

$g(\omega) \propto$  sannolikhetsamplituden  
för att hitta frekvensen  $\omega$

vi har, om vi istället ser på energi  $E = \hbar\omega$ ,

$$P(E) \propto |\psi(\omega)|^2 = g^*(\omega)g(\omega)$$

alltså

$$P(E) = C \cdot \frac{\hbar^2}{2\pi} \frac{|\psi(0)|^2}{(E - E_0)^2 + T^2/4}$$

sannolikhet för att hitta partikeln vid energi  $E$

tillståndet måste ha någon energi:

$$\int_{-\infty}^{\infty} P(E) dE = 1$$

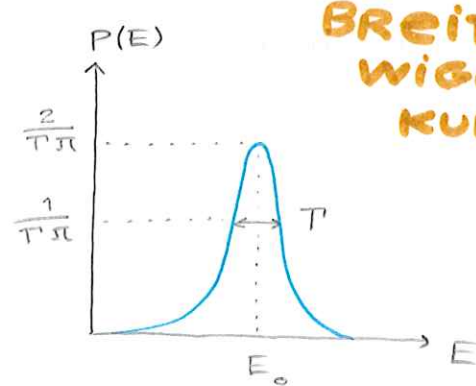
dvs ser vi på alla värden måste vi få ha 1.

går oss  $C = \frac{T}{\hbar^2 |\psi(0)|^2}$

alltså

$$P(E) = \frac{T}{2\pi} \frac{1}{(E - E_0)^2 + (T/2)^2}$$

vi får en energibredd på kurvan



livstiden  $\tau = \frac{1}{\lambda}$  dvs mest sannolika tiden som partikel lever

$$\text{livstid} \rightarrow \tau \cdot T = \frac{T}{\lambda} = \hbar \quad (\Delta E \cdot \Delta t \geq \hbar)$$

"naturlig linjebredd"

för  $\rho$ -mesonen:

(starkt vr elementarpartikel som lever mkt kort)

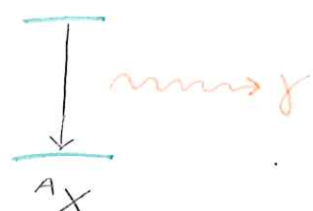
$$\tau_\rho = 4.4 \cdot 10^{-24} \text{ s} \quad \text{ger} \quad T_\rho \approx 150 \text{ MeV}$$

egentligen,  
då mäter bredd,  
får  $\tau_\rho$

så stor bredd på  
topp, osäkerhet  
i massa

för  $\gamma$ -söndrfall:

$$\tau_\gamma \approx 10^{-12} \text{ s} \quad \text{dvs} \quad T \approx 10^{-10} \text{ MeV}$$



## $^{14}\text{C}$ -datering.

Kosmisk strålning, ex. muoner, neutroner



Dateringen: tog bit av ex. trä, brände ner till aska, i gasbehållare, såg på  $\beta$  sönderfall, jämförde m. kända värden.

$A = \lambda N$  behörer ganska stor bit, mkt  $N$

Kan istället räkna dem, bort m.  $\lambda N$ -beroendet  
"Shroud of Turin"

Kan även datera jorden,  ${}^{87}\text{Rb} \rightarrow {}^{87}\text{Sr}$   
 $4.8 \cdot 10^{10} \text{ y}$  stabil

## 2.7: Fission

dela upp en tung kärna i 2 lättare

antag  ${}^{238}\text{U}$  bildar 2  ${}^{119}\text{Pd}$  lika stora!

$$B/A = 7.6 \text{ MeV/n} \quad 8.5 \text{ MeV/n}$$

alltså  $(8.5 - 7.6) \cdot 238 \text{ MeV} = 214 \text{ MeV}$  frigörs

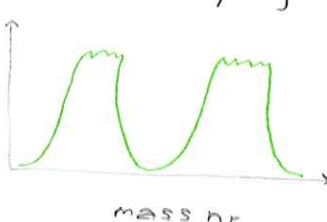


Om de skulle fissioneras ihop  
kan spela det baklänges

Coulombbarriär

250 MeV för  ${}^{238}\text{U}$

nästan aldrig är de lika  
stora, som ovan. typiskt 1 tyngre, 1 lättare  
enligt vissa kurvor

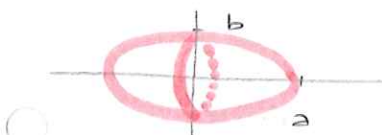


Kan ha en "förlängning" av kärnan



2 delar!

Vi kan studera fission genom SEMF, alltså som ovan



sträcka ut en kärna s.t. att  
konstant volym (~ konstant  $\rho$ ) men  
yt- och Coulomb termer  
ändras.

$$V = \frac{4}{3}\pi ab^2 \quad \text{uttryckt i distorsions parameter } \varepsilon : \\ a = R(1+\varepsilon) \quad b = R(1+\varepsilon)^{-1/2}$$

$$V \propto ab^2 = R^3 \frac{(1+\varepsilon)}{(1+\varepsilon)^{1/2}} = R^3 \quad \text{OK!}$$

ytan får vi

$$S = 4\pi R^2 \left(1 + \frac{2}{5}\varepsilon^2 + \dots\right) \quad \text{Taylor alltså}$$

$$\text{Coulombvv} \propto \left(1 - \frac{1}{5}\varepsilon^2 + \dots\right)$$

Energiskillnad genom deformation:

$$\Delta E = B(\varepsilon) - B(\varepsilon=0) = -2s A^{2/3} \left(1 + \frac{2}{5}\varepsilon^2 + \dots\right) - 2c Z^2 A^{-1/3} \left(1 - \frac{1}{5}\varepsilon^2 + \dots\right)$$

$$= \underbrace{\left(-\frac{2}{5}2s A^{2/3} + \frac{1}{5}2c Z^2 A^{-1/3}\right)\varepsilon^2}_{\text{energi frigörs om } \varepsilon > 0}$$

ej skillnad i volymsterm, sym. term (sym. Z och N, ändras ej då drar i den)

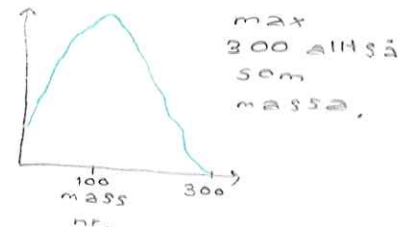
ger oss

$$\frac{1}{5}2c Z^2 A^{-1/3} > \frac{2}{5}2s A^{2/3}$$

$$\frac{Z^2}{A} > \frac{2s}{2c} \approx 49$$

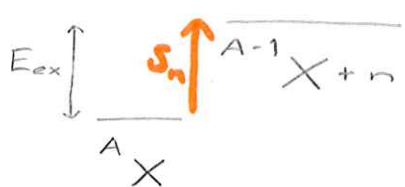
vi följer stabilitets-dalen ungefärlig.

$$\left\{ \begin{array}{l} A \geq 270 \\ Z \geq 116 \end{array} \right. \quad \text{kommer då att ha spontan fission}$$



## Inducerad fission.

Studera den inversa processen - ta bort en neutron



vänd på process - neutron infångning - ger en exciterad kärna med

$$E_{ex} = S_n = (2.586) =$$

$$[M(Z, A-1) + m_n - M(Z, A)] c^2$$

$$= B(Z, A) - B(Z, A-1)$$

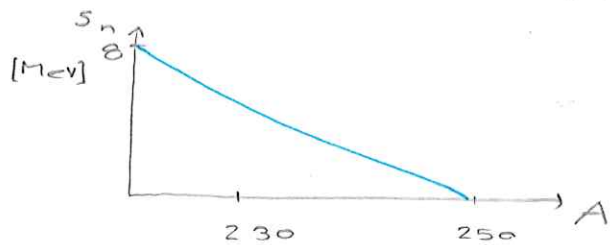
SEMF

(utan parterm)

byter tecknen då  
bindningsenergier

$$\begin{aligned} E_{ex} &= \bar{\alpha}_v (A - (A-1)) - \bar{\alpha}_s (A^{2/3} - (A-1)^{2/3}) \\ &\quad - \bar{\alpha}_{sym} \left[ \frac{(Z-A/2)^2}{A} - \frac{(Z-(A-1)/2)^2}{A-1} \right] \\ &= \bar{\alpha}_v - \dots - \dots \end{aligned}$$

Coulombterm försvinner i om samma Z,  
nästan samma A, kan försummas,



Om vi inkluderar partermen  $jj \rightarrow jj$

$$\left. \begin{aligned} &- \bar{\alpha}_p A^{-1/2} \\ &+ \bar{\alpha}_p A^{-1/2} \end{aligned} \right\} \Delta E \approx (A=236) \approx 1.6 \text{ MeV}$$

Kan hjälpa oss att nå över barriären!

$^{235}\text{U}$  istället för  $^{238}\text{U}$

$$^{235} \rightarrow 236$$

$$uj \rightarrow jj$$

$$238 \rightarrow 239$$

$$jj \rightarrow uj$$

$^{235}\text{U}$  har alltså  
hög P för att  
fissionera, även  
vid låg E

## 2.8: Kvanttal och exciterade tillstånd

atomer är uppbyggda av fermioner (halvtaliga spin) i kvanttillstånd, karakteriseras av kvanttalen  $\ell$  och  $s$  som kopplar till  $jj = \ell + s$   $j = \ell \pm \frac{1}{2}$ . samtliga nukleoner kopplar till ett totalt kärnspin  $J$  (eller  $I$ ) med projektion  $m_j = -J, -J+1, \dots$  om alla nukleoner utom en valensnukleon "...,  $J$ " "avparas", så har vi att  $J = j_{\text{valens}}$  annars (ibland)  $J = J_{\text{core}} + j_{\text{part}}$

dvs.  $1e^-$   
bestämmer  
för hela  
kärnan

n/p halvtaliga  $\rightarrow A$  udda -  $J$  halvtaligt

$A$  jämn -  $J$  heltaligt

### 1.3.1: Paritet

vägfkt'n  $\Psi(1r)$

$$\Psi(-1r) = +\Psi(1r)$$

(jämn)

positiv  
paritet

$$\Psi(-1r) = -\Psi(1r)$$

negativ  
paritet  
(udda)

ett nukleärt tillstånd beskrivs med

$$J^\pi \quad \text{ex. } 0^+, 2^-, 3/2^-, 5/2^+$$

dvs de "tar  
maximalt" ut  
varann

alla  $j-j$  kärnor har  $0^+$  i grundtillståndet

ex. för  $^{60}_{28}\text{Ni}$  har grundtillstånd  $0^+$ ,

finns även exciterade tillstånd för kärnan,  
 $2^+, 4^+ \approx 1330 \text{ keV}$  mellan nivåer,  
(MeV ~ för sönderfallsprocesser)

$\Psi$  som har andra konfigurationer, ej helt som  
är från exciterat, skickar ut  
en foton, dvs  $\gamma$ -strålning.

~~2.8.9~~  $\longrightarrow 7.85$

samma men olika beteckningar

finns urvalsregler också då,

## 2.9: Kärnreaktioner

mer information - stör system

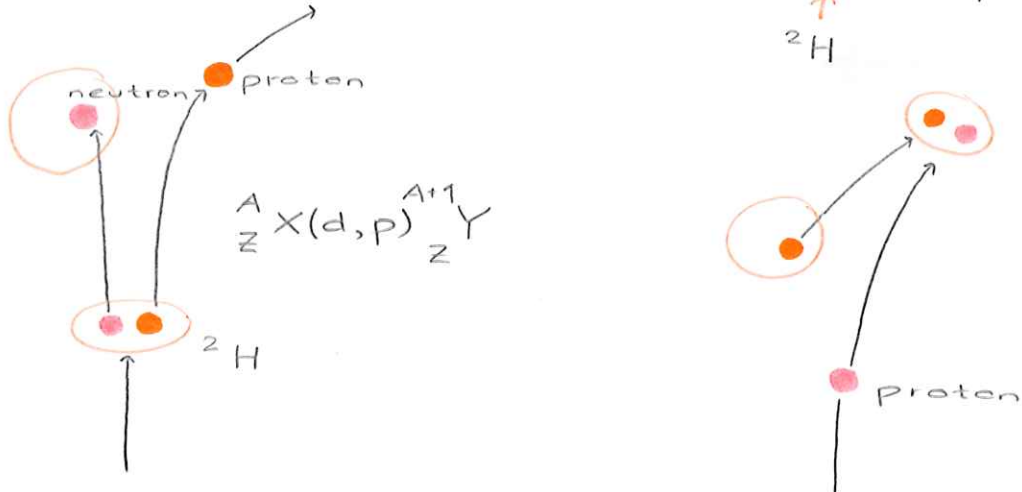
## Sönderfalls egenskaper

## Kärnreaktioner

ofta gör vi en binär reaktion



ex p<sub>a</sub><sup>2</sup> direkta reaktioner (d, p) / (p, d)



ofta studerar vi  $Y$  indirekt genom att  
måta på b.

exotherm  
/ endotherm?

olika beteende beror på Q-värdet

$$Q = [m_a + m_x - (m_y + m_b)] c^2$$

Kan reaktion ske om energi behövs?

ja om tillför t.ex kinetisk energi

## SPECIELLT:

elastisk spridning  $X(z, z)X$

inelastisk spridning  $X(a, a') X^*$

existerat  
strålmålet  
men samma  
in som ut

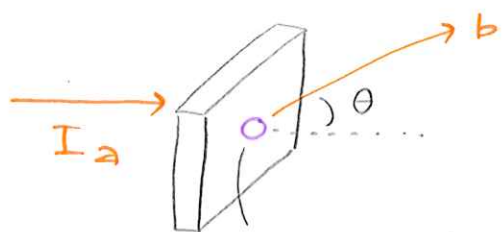
kan alltså ex. skjuta på  ${}^2\text{H}$  istället om existerar  
kort tid, tar då plast m. deuteron, kan också då.

inelastisk Coulomb spridning ex då  $\alpha$  mkt nära  
en tung kärna, dvs kan exitera EM då.

Kan även fusionera ihop en kärna, ex med  
2 st, sen ut då, lika stor sannolikhet för  
dem då kärnan tappar minnet!

K5: kolla på skalmodell som finns i Physics  
tar tid! linjär kalibrering, anpassa till några punkter

### TVÄRSNITT: (K6 och rör.)



$\sigma$  en yta motsvarande  
en reaktionsannolikhet

reaktions-

tvärsnitt;  $\sigma = \frac{R_b}{I_a}$  → reaktionshastighet

enhet:  $b, \text{ barn}$   $I_a N$  → antal strålmålskärnor / ytenhet

intensitet (partiklar / tid)

$$1 \text{ barn} = 10^{-28} \text{ m}^2$$

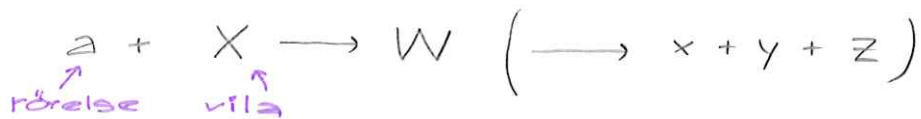
en kärnas approximativa area:

$$\pi r^2 = \pi (R_0 A^{1/3})^2 = \{ A = 105 \} = 10^{-28} \text{ m}^2$$

differentiellt tvärsnitt:

$$\frac{d\sigma}{d\Omega} (\theta) = \dots, \frac{d\sigma^2}{d\Omega dE} (\theta, E)$$

# 4.1: Reaktioner - generellt



rörelsemängd,  
energi  
bevarat

lös generellt med 4-rektor

ser till 

båda!

$$\mathbf{P} = [P_x, P_y, P_z, \frac{E}{c}]$$

i Physics  
har vi ett  
i här

[+, +, +, -]  
om tar summa

total energi

$$E = m_0 c^2 + T$$

$$\begin{aligned} \mathbf{P}^2 &= P_x^2 + P_y^2 + P_z^2 - \frac{E^2}{c^2} = P^2 - \frac{E^2}{c^2} \\ &= \left\{ \begin{array}{l} \text{för massiv} \\ \text{partikel} \end{array} \right\} = -m_0^2 c^2 \\ &\quad E^2 = P^2 c^2 + m_0^2 c^4 \end{aligned}$$

Använd för reaktion:

$$\begin{aligned} \mathbf{P}_a + \mathbf{P}_x &= \mathbf{P}_w \\ \mathbf{P}_a &= [0, 0, P_a, \frac{E_a}{c}] \\ \mathbf{P}_x &= [0, 0, 0, m_x c] \end{aligned}$$



får - i skalär produkten

$$\begin{aligned} -m_w^2 c^2 &= \mathbf{P}_w^2 = (\mathbf{P}_a + \mathbf{P}_x)^2 = \mathbf{P}_a^2 + \mathbf{P}_x^2 + 2 \mathbf{P}_a \cdot \mathbf{P}_x \\ &= -m_x^2 c^2 - m_a^2 c^2 - 2 m_x E_a \end{aligned}$$

$$\begin{aligned} m_w &= \sqrt{m_x^2 c^2 + m_a^2 c^2 + 2 m_x \frac{E_a}{c^2}} \\ &= \sqrt{m_x^2 c^2 + m_a^2 c^2 + 2 m_x \frac{1}{c^2} (T_a + m_a c^2)} \\ &= \sqrt{(m_x + m_a)^2 + \frac{2}{c^2} m_x T_a} \end{aligned}$$

ex1.

sammansatt kärna (compound)

$$a + X \rightarrow C^* \Rightarrow m_{C^*} \geq m_a + m_X$$

ex2.

hitta nya partiklar

dvs med ökad kinetisk energi kan den bli tyngre!



får då  $m_W \approx \sqrt{\frac{2}{c^2} m_p T_p}$

tänk på, om 10 ggr  
större massa,  
måste ha 100 ggr  
större  $T$ !

○ hur fixar man det då?



accelerera båda

då alltså! kolliderare

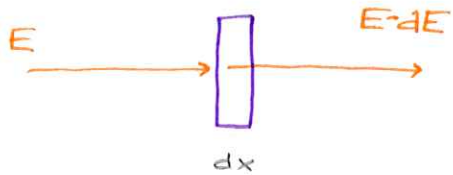
har en större sammanlagd massa

120326

# KAP 4: Detektera strålning

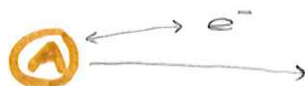
detektion  $\Leftrightarrow$  växelverkan

(tunga) laddade partiklar ex.  ${}_{2}^{4}\text{He}$  ( $\alpha$ ), till och med  
**ENERGI-  
FÖRLUST:**  $\mu^{\pm}, A=1-\sim 250$  proton,  
 muon



i kammar ha  
 växelverkan m,  
 $e^-$  i materialet,  
 ger STOR hastighet till  
 $e^-$  ju, då mkt utan me

man kan också se  
 på energiförlust per



längdenhet:

$$-\frac{dE}{dx}$$

beror på ex.  $\beta, \gamma, \delta, Z, A$

viktigast är dock

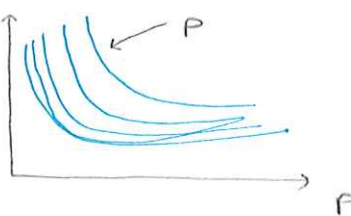
$$-\frac{dE}{dx} \propto \frac{Z^2 Z}{\beta^2}$$

laddning atomnr

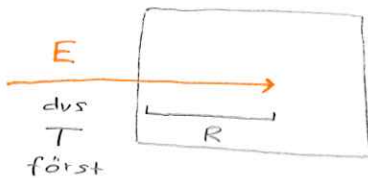
om ser på  $-\frac{dE}{dx}$  vs  $P$

kan få spår för olika partiklar,

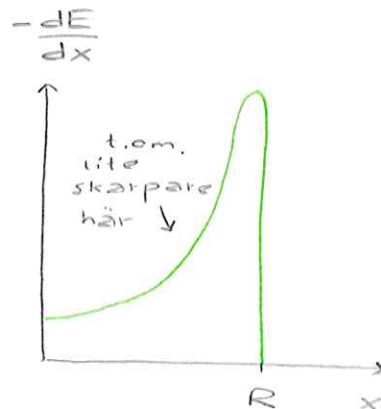
ex. proton lätt  $\frac{-dE}{dx}$



Räckvidd:

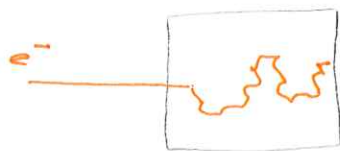


$$R = \int_T^0 \left( -\frac{dE}{dx} \right)^{-1} dE$$



en Bragg-kurva

Lätta laddade partiklar ex.  $e^-$



acceleration  $\Leftrightarrow$  bromsstrålning

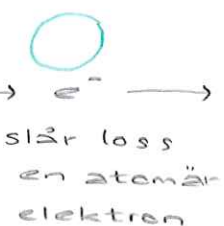
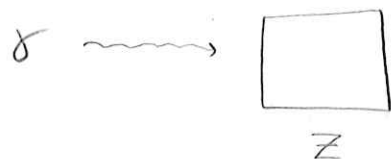


vi kan bestämma tillräckligt tjockt material för att stoppa  $e^-$ , men ej individuella, väldigt slumpmässigt

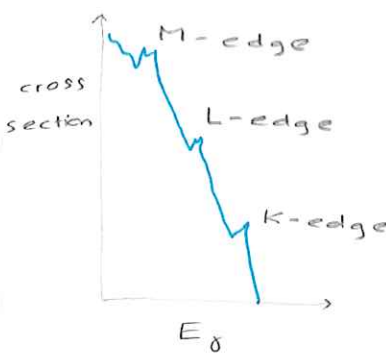
## GAMMAFOTONER - e.m. strålning

en process är

FOTOELEKTRISK EFFEKT:



tvärsnittet

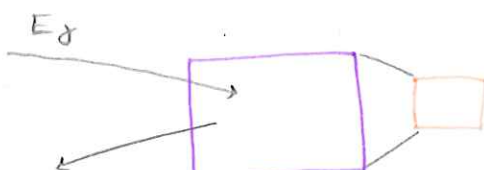


$\sim Z^4$  dvs tunga kärnor skyddar bra mot  $\gamma$ -strålning

dvs öppnar upp skalen

$$T_e = E_\gamma - B_e$$

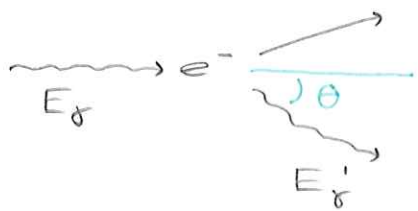
all E överförs från  $\gamma$  till  $e^-$  behövs bindningsenergi, funkar ej annars !



$$K_\alpha = 28 \text{ keV}$$

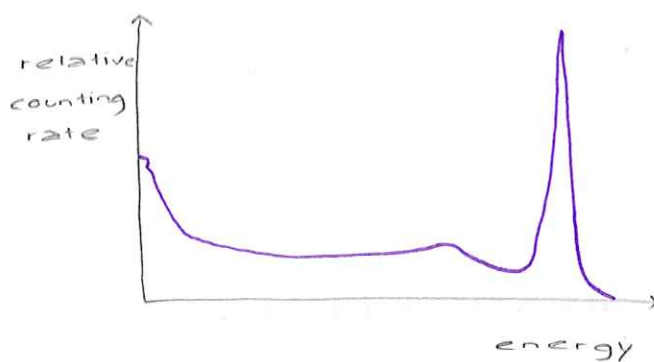
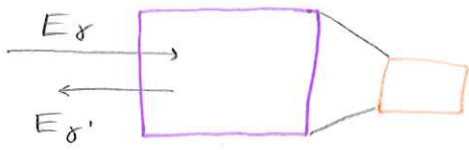
ibland smiter alltså en  $\alpha$  ut, detekterar lite mindre energi

## COMPTONSPRIDNING:

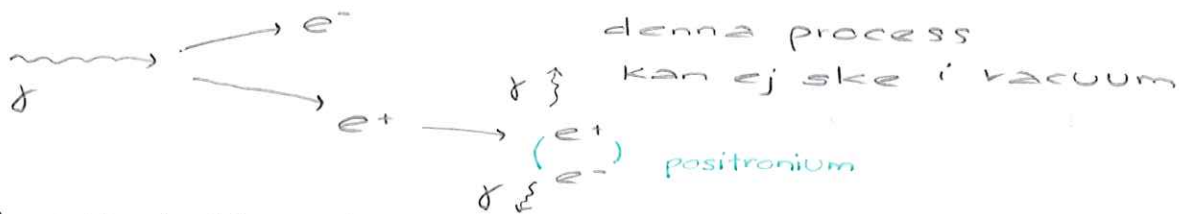


$$E'_{\gamma} = \frac{E_{\gamma}}{1 + (E_{\gamma}/mc^2)(1 - \cos \theta)}$$

en vanlig process i sönderfall



## PARBINDNING:

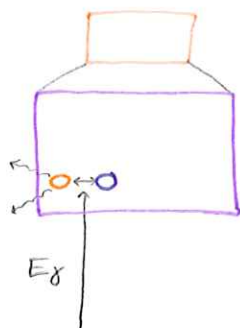


för att detta ska ske, behövs  $E_{\gamma} \gg 1022 \text{ keV}$

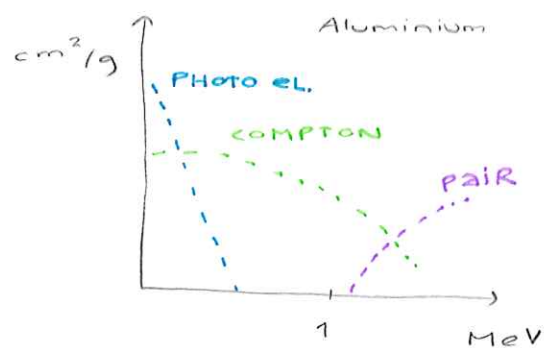
$$T_{e^+} + T_{e^-} = E_{\gamma} - 1022 \text{ keV} \quad (2 \cdot 511 \text{ keV})$$

$e^+$  letar upp en  $e^-$ , bildar positronium sen ut  $\gamma$ -strålning, var och en med 511 keV dvs totalt

$$E_{\text{detekterat}} = E_{\gamma} - 1022 \text{ keV} + 511 \text{ keV} + 511 \text{ keV}$$



single particle escape  
double particle escape



denna är olika typer av processer för växelverkan alltså.

# GENERellt FÖR PARTIKEL-DETEKTOR



## KAP 7:

### 7.1: Växelverkan mellan nukleoner

indikationer från SEMF

stark små avstånd

försunbar stora

laddn. symm ( $n-n$ ,  $p-p$ )

laddn. obalr ( $n\bar{n}$ ,  $n\bar{p}$ ,  $p\bar{p}$ )

leptoner kännet ej av starka kraften  
ex.  $e^+$ ,  $\mu$ ,  $\nu_e$

spinnber.  $\uparrow \downarrow$   $\uparrow \downarrow$

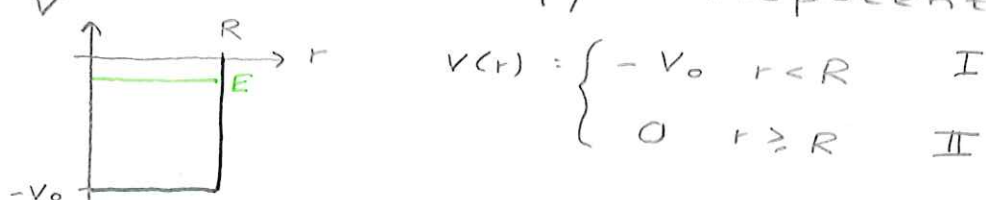


deuteron som modellsystem

$n-p$ ,  $B/A$  typiskt  $8 \text{ MeV}/A$  löst bundet system

vi kan approx. lösa för sfärisk symmetri ( $l=0$ )

$V$  och en radiell fyrkantspotential



# radiala Schrödinger ekvationen

$$-\frac{\hbar^2}{2m} \left( \frac{d^2\psi}{dr^2} + \frac{2}{r} \frac{d\psi}{dr} \right) + \left[ V(r) + \frac{l(l+1)\hbar^2}{2mr^2} \right] \psi = E\psi$$

med  $l=0$  kan vi substituera  $\psi(r) = \frac{u(r)}{r}$

$$-\frac{\hbar^2}{2m} \frac{d^2u}{dr^2} + V(r)u(r) = Eu(r)$$

lös i region I och II:

$$\text{I} : -\frac{\hbar^2}{2m} \frac{d^2u}{dr^2} - V_0 u(r) = Eu(r)$$

$$\frac{\hbar^2}{2m} \frac{d^2u}{dr^2} = -(E + V_0)u(r)$$

$$u(r) = A \sin k_1 r + B \cos k_1 r$$

$$k_1 = \sqrt{\frac{2m}{\hbar^2} (E + V_0)}$$

$$\text{II} : -\frac{\hbar^2}{2m} \frac{d^2u}{dr^2} = Eu(r)$$

$$u(r) = C e^{-k_2 r} + D e^{k_2 r} \quad k_2 = \sqrt{-\frac{2mE}{\hbar^2}}$$

$$\lim_{r \rightarrow \infty} u(r) = 0 \quad \text{gör} \quad D = 0$$

för alla bundna tillstånd,

$$E < 0, k_2 \text{ reell}$$

$$\text{för } \infty \geq r, \psi(r) = \frac{u(r)}{r}$$

$$\text{dvs } \lim_{r \rightarrow \infty} u(r) = 0 \quad \text{gör} \quad B = 0$$

$$\text{detta ger } u(r) = \begin{cases} A \sin k_1 r & \text{I} \\ C e^{-k_2 r} & \text{II} \end{cases}$$

kräva kontinuitet i  $u(r)$  och  $\frac{du}{dr}$  vid  $r=R$

$$\begin{cases} A \sin k_1 R = C e^{-k_2 R} \\ A k_1 \cos k_1 R = -k_2 C e^{-k_2 R} \end{cases}$$

$$\tan k_1 R = \frac{k_1}{k_2}$$

från förra gången:

$$\left\{ \begin{array}{l} A \sin k_1 R = C e^{-k_2 R} \\ k_1 A \cos k_1 R = -k_2 C e^{-k_2 R} \end{array} \right.$$

$$\text{ger oss } -\tan k_1 R = \frac{k_1}{k_2}$$

vi sätter

$$x = \frac{k_1}{k_2} = \sqrt{-\frac{E + V_0}{E}} \quad (1)$$

$$-\tan(x \underbrace{k_2 R}_b) = x$$

"RIMLIGA" värden på b:

$$b = \frac{1}{\hbar} \sqrt{-2mE} R$$

vet för deuteron:

$$E = 2.2 \text{ MeV}$$

$$m = \mu = \frac{m_p \cdot m_n}{m_p + m_n} = 469.5 \text{ MeV}/c^2$$

$$R \approx 2 \text{ fm} \quad (\text{Fermi})$$

$$1 \text{ fm} = 1 \text{ Fermi}$$

$$\hbar c = 197.3 \text{ MeV} \cdot \text{fm}$$

$$\text{ger } b = 0.46$$

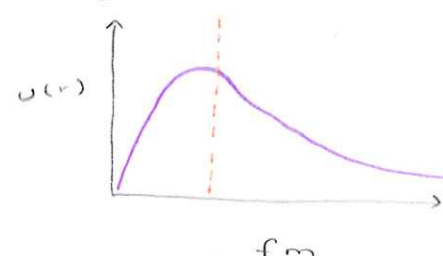
lös numeriskt/grafiskt:  $x = 3.9$

$$(1) \text{ ger } V_0 = -E(x^2 + 1) = 36 \text{ MeV}$$

dvs så djup pot. grop för att deutron ska "återskapas".

det är nära att pot. ej fungerar!

dvs väldigt lite bundet



# DEUTERONEN:

$$J^\pi = 1^+$$

$J$  färs genom

$$J = l + S_n + S_p$$

då har positiv  
paritet kan  
stryka  $l=1$

$I = 1$  färs genom

$$(l=0, 1, 2)$$

s p d

$$\text{med } J_L = (-1)^L$$

i vår beräkning innan: antag sfäriskt  
symmetriskt  $l=0$ ,  
men om ser på magnetiska dipolmomentet  
färs  $l=0$  (2)

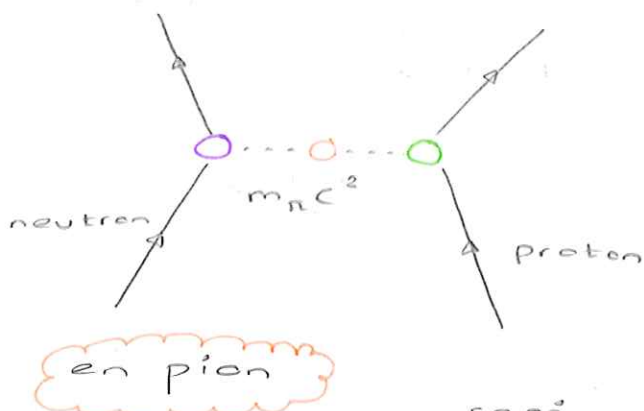
## 1.5.2 : Utbytespartiklar / krafter

utbytespartikel  $p \leftrightarrow n$  kan existera  
som en virtuell partikel om tiden den  
existerar är

$$\Delta t < \frac{\hbar}{mc^2}$$

vi kan alltså  
läna energi  
från naturen  
under en  
södan kort  
tid  
(benöver ej  
berara  $E$ )

Yukawa 1935



se på  
utsträckning

$$\text{med } V = e^{-R} \lesssim \frac{1}{r} \text{ med } R = \frac{\hbar}{3m}$$

för STARK växelverkan  $R = 1.4 \text{ fm}$

$$m_\pi c^2 = 140 \text{ MeV}$$

pion  $\pi^{+0}$  ; den lättaste mesonen

## Yukawa-potentialen

$$R = \frac{\hbar}{m_\pi c} \quad V(r) = \frac{1}{r} e^{-r/R}$$

## 7.3: Skalmodellen

ta bort en nukleon:

$$S_n = [M\left(\frac{A-1}{Z} X_{N-1}\right) + m_n - M\left(\frac{A}{Z} X_N\right)]c^2$$

men då kommer partermen i SEMF påverkas  
 $\pm \delta$

använt  $S_{2n} = [M\left(\frac{A-2}{Z} X_{N-2}\right) + 2m_n - M\left(\frac{A}{Z} X_N\right)]c^2$

då får vi inga parterms skillnader!

vissa konfigurationer m. visst antal nukleoner  
 är speciellt stabila! vid vissa **MAGISKA TAL**

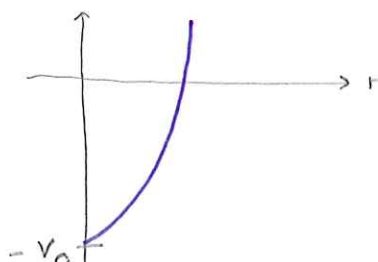
$$N, Z = 2, 8, 20, 28, 50, 82, 126, \dots$$

om båda har ngt magiskt tal:

dubbel magisk kärna, stabil även fast  
 långt ifrån "dalen"

ser på en harmonisk oscillator's potential:

$$V(r) = \frac{1}{2} k r^2 - V_0$$



Lösningar

$$E_n = \hbar \omega_0 \left(n + \frac{3}{2}\right) \quad n = 0, 1, 2, 3, \dots$$

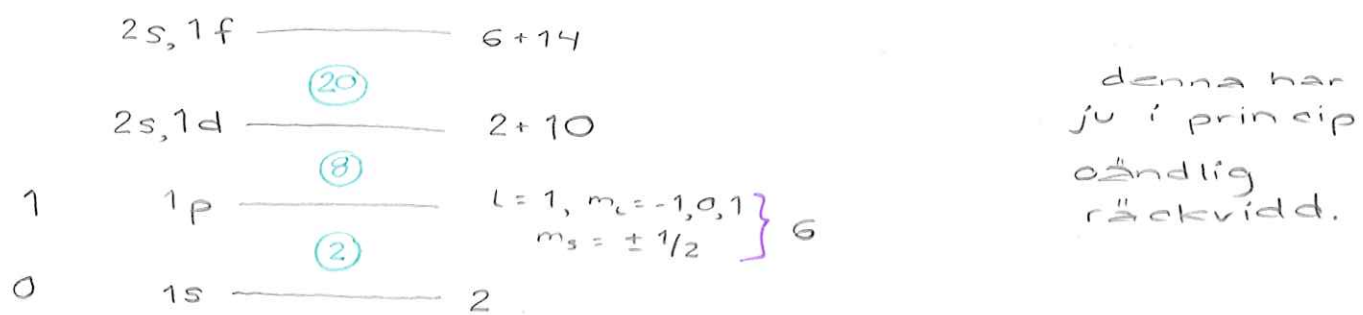
$$\begin{aligned} l \leq n & \quad n \text{ udda} = l \text{ udda} \\ & \quad n \text{ jämn} = l \text{ jämn} \end{aligned}$$

innan idag  
 en lädpotential  
 för pot. stark vv

degenereringsgrad:  $2(2l+1)$  då stoppar in  
 i skal

## H.O. POTENTIAL

n



Se på kart finns energigap i schemat.  
 fanns alltså viss likhet med atomfyrsiken  
 (den vi härmade) men NEJ, inte alls helt.  
 stor skillnad iom stark växelverkan med  
 många partiklar tätt, medan för atom:  
 $e^-$  spridda m. kärna i mitt

vill byta till en realistisk potential med  
 ändlig räckvidd:

Woods-Saxon

$$V(r) = -\frac{V_0}{1 + \exp\left(\frac{r-R}{a}\right)}$$

$V_0 = 50 \text{ MeV}$   
 $R = 5,8 \text{ fm}$   
 $a = 0,65 \text{ fm}$

$$\propto Dl^2$$

den gav oss bättre  
 magiska tal

vi lägger till effekt av spin-ban-koppling  
 koppla l och s, (Zeeman)

$$V_{SB}(r) \parallel \mathbb{S} \quad \text{vad ger det?}$$

$$jj = ll + \mathbb{S} \quad \text{gott kvanttal}$$

Vi skriver om det:

$$jj^2 = (l + s)^2 = l^2 + 2ls + s^2$$

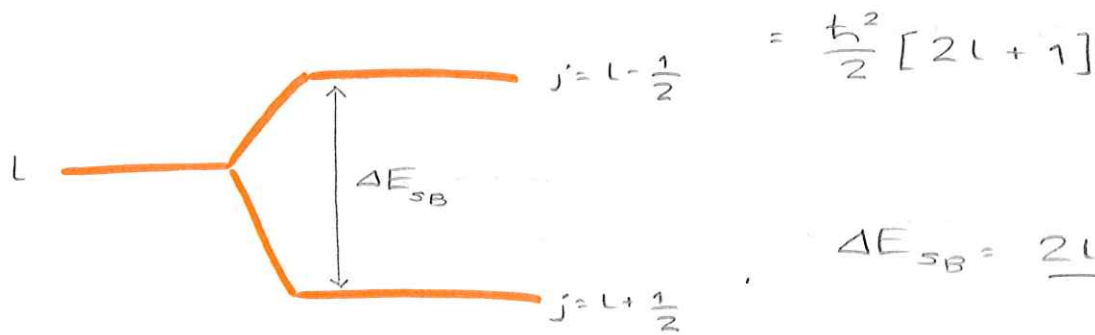
$$ls = \frac{1}{2}(jj^2 - s^2 - l^2)$$

Ser på vänstervärde av

$$\langle ls \rangle = \frac{1}{2} [j(j+1) - l(l+1) - s(s+1)] \hbar^2$$

$$\text{med } j = l \pm \frac{1}{2}$$

$$\langle ls \rangle_{j=l+\frac{1}{2}} - \langle ls \rangle_{j=l-\frac{1}{2}} = \frac{\hbar^2}{2} \left[ (l + \frac{1}{2})(l + \frac{3}{2}) - (l - \frac{1}{2})(l + \frac{1}{2}) \right]$$



OBS

alla nivåer splittras i 2 pga spinn-ban negativ, vill ha + 1

$^{208}\text{Pb} + n$  har 126 och 82

ser i shell Model-diagram

tar kärnens nukleonen och stoppar in i högre nivå, bestämmer spin-paritet!

Ären avsaknad av nukleon (typ häl) kan göra det!

Kan se på vägfskt'n för Häl!

### 7.3.3 och 7.4.1:

vi har laddade partiklar i kärnan (protoner) som ger upphov till el.magn. egenskaper

- kan uttryckas i multipolmoment med paritet

$(-1)^l$  för el. moment

för en kärnas vågfunktion

$(-1)^{l+1}$  för magn. momen

bildas väntevärdeet av operatorn genom

$$\int \Psi^* \circ \Psi dV$$

+/-  $\uparrow$     +/-  
 el.magn.  
 operator  
 + paritet

ALLTSÅ :

kärnannan el/magn ger oss något

l

- 1 el. monopolmoment  $eZ$
- 2 magn. dipolmoment

i en kärna:

skriv som  $\mu = g_L \cdot l \cdot \mu_N$  kärnmagnetonen

$$g_L = \begin{cases} 1 & \text{proton} \\ 0 & \text{neutron} \end{cases}$$

MEN

j gott kvanttal och n/p

har intrinsiskt magn. moment

$$\mu = g_j j \mu_N$$

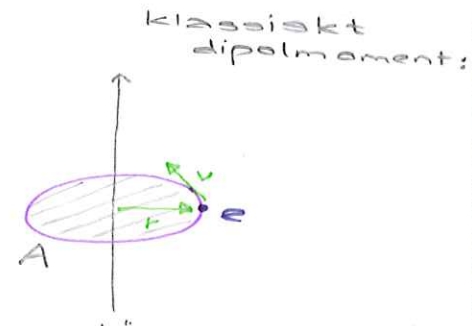
vågfkt'r avsparas för att få lägt energitillstånd, valens ger egenskaper

numeriskt:

$$\mu_N = 3.1595 \cdot 10^{-8} \text{ eV/T}$$

$$\mu_B = 5.7804 \cdot 10^{-5} \text{ eV/T}$$

$\Psi$  har antingen +/- paritet, men hela integranden måste ha + paritet, annars kancellerar



$$\begin{aligned} \mu_{el} &= iA = \frac{ev}{2\pi r} \pi r^2 \\ &= \frac{evr}{2} = \left\{ \mu = mvr \times v \right\} \\ &= \frac{e}{2m} I II \end{aligned}$$

Krantmekanisk definition:

$$\mu = \frac{ek}{2m} L \quad \begin{array}{l} \text{bänimpuls-} \\ \text{moment} \end{array}$$

magneton

$$j = L \pm \frac{1}{2} \quad (7.29-7.31)$$

Kan beräkna max och min för magnetiska momentet, dock svårt att avgöra precis, invecklat!

l

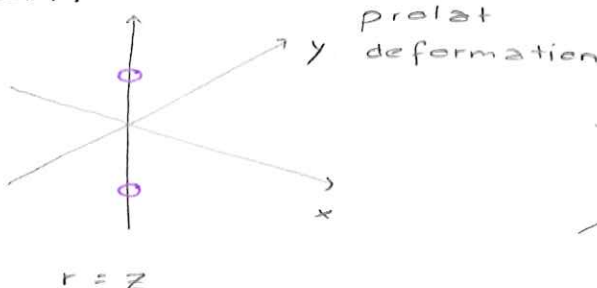
### 3 elektriskt kvadrupolmoment

$$\epsilon Q = \int f(r) (3z^2 - r^2) d^3r$$

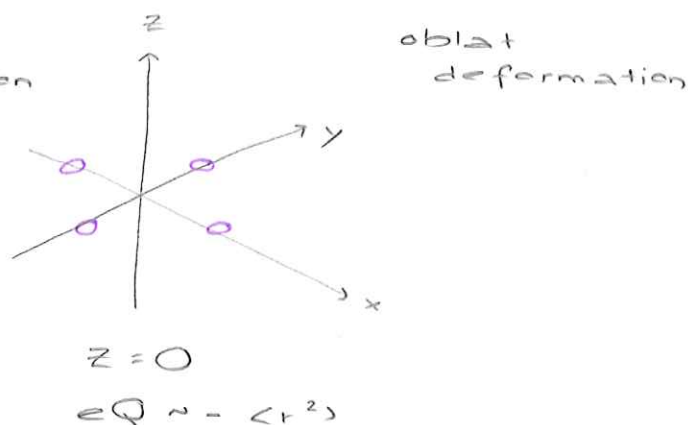
partiklar:

$$\epsilon Q = \sum_i \int \psi^* q_i (3z^2 - r^2) \psi d^3r \quad \xleftarrow{\text{diskret laddn. fördeln. i vissa pkt'r då}}$$

ex.



$$\epsilon Q \approx <2r^2>$$

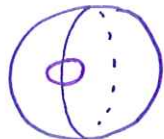


$$z = 0$$

$$\epsilon Q \approx -<r^2>$$

sfärisk laddningsfördelning  $\epsilon Q = 0$

valensnukleoner kan ge bidrag, antag vågfunktion i yta av kärna



$$r \approx R_o A^{1/3}$$

om symmetriaxeli i z-led

$$|eQ| \leq e <r^2> = e R_o^2 A^{2/3}$$

↑  
bara valens-  
proton bidrar

$$= e \cdot 1.44 \cdot 10^{-30} A^{2/3} m^2 = \{A=200\} \approx 0.5 eb \quad \text{"elektrobarn"}$$

MEN exp. data visar t.ex.  $^{176}\text{Lu}$ : 8.0 eb

vi har en statisk deformation

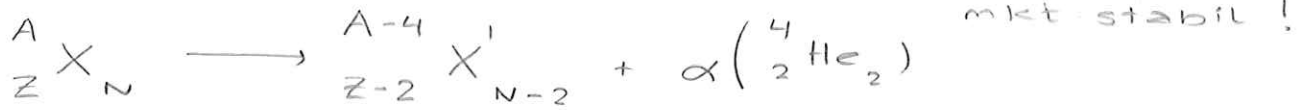
fler än 1 protoner som förskjuts !!

nivåer spliddras upp då deformeras



man får typiska excitations-  
mönster

## 7.6: $\alpha$ -sönderfall

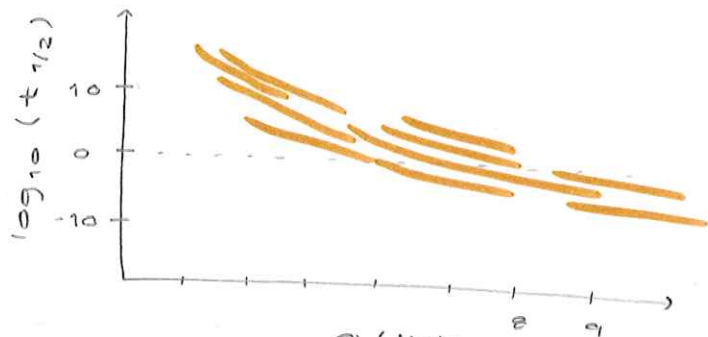


$$Q = (m_x - m_{x'} - m_\alpha) c^2$$

$$Q = T_{x'} + T_\alpha$$

$$T_\alpha = \frac{Q}{(1 + m_\alpha/m_{x'})}$$

ser  $\rho \approx \log_{10}(t_{1/2})$  för  $\alpha$ -emitterar

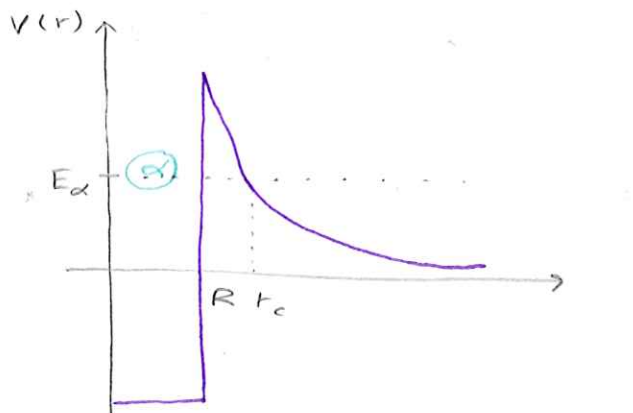


Geiger - Nutall gjorde med detta

$$\log t_{1/2} = C + D(ZQ^{-1/2})$$

parametrisering  
över 20 strl ordn!

studera  $\alpha$ -sönderfall mha tunnling:



$E_\alpha$  energi för  $\alpha$ -part.

långt bort känner

c) av stark vr  
el. magn.

närmare, känner av  
Coulomb

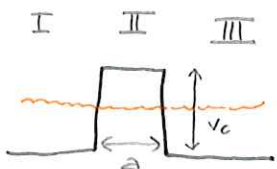
sen tar stark vr  
över,

skapar en  $\alpha$ -part. innanför  $R$ .

om lyckas tunna till  $r_c$ , är utanför  
stark vr's räckvidd.

$$V(r) = V_c(r) = \begin{cases} \frac{2Z\alpha hc}{r} & ; r > R \text{ rent el.magn.} \\ -V_0 & ; r < R \text{ stark vr} \end{cases}$$

hur modellera tunnling? se appendix A1:



$$(A.9) T \approx \left( \frac{4kK}{k^2 + K^2} \right)^2 e^{-2Ka} \quad (1)$$

$$\text{med } h^2 k^2 = 2m E_\alpha \quad I$$

$$h^2 K^2 = 2m (V_c - E_\alpha) \quad II$$

typiska numeriska värden:

$$\left\{ \begin{array}{l} E_\alpha = 5 \text{ MeV} \\ R = R_0 A^{1/3} = \{ A=232 \} = 1.2 \cdot 232^{1/3} \text{ fm} = 7.4 \text{ fm} \\ Z = 90 \end{array} \right. \quad (2)$$

vid  $r=r_c$  är  $V(r_c) = E_\alpha$

$$r_c = \frac{2Z\alpha \hbar c}{E_\alpha} \quad (3)$$

$$\text{för } (2) : r_c = \frac{2 \cdot 90 \cdot 197}{137 \cdot 5} \text{ fm} = 51.7 \text{ fm}$$

barriärens maximala höjd:  $V_c(R) \approx 35 \text{ MeV}$

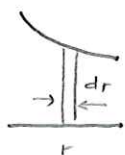
behandla del av (1):

$$\left( \frac{4KK}{K^2 + K^2} \right)^2 = \left( \frac{4\sqrt{E_\alpha(V_c - E_\alpha)}}{E_\alpha + (V_c - E_\alpha)} \right)^2 = 16 \frac{E_\alpha(V_c - E_\alpha)}{V_c^2}$$

$$= 16 \frac{E_\alpha}{V_c} \left( 1 - \frac{E_\alpha}{V_c} \right) = \left\{ \text{för } r=R \right\} = 16 \frac{5}{35} \left( 1 - \frac{5}{35} \right) \approx 1.9$$

$$T \approx e^{-2K_2} = e^{-2K_4 r} \quad \text{dvs } O(1) \text{ kan}\text{då approx } \approx 1$$

se som en fyrkantsbarriär stämmer ju inte så bra... lös differentiellt:



differentiell transmission:

$$dT = \exp \left[ -\frac{2}{\hbar} dr \sqrt{2m(V_c(r) - E_\alpha)} \right]$$

total transmission:

$$T = dT_1, dT_2, \dots :$$

skriv om  $V_c(r) = \{ (3) \}$

$$= r_c \frac{E_\alpha}{r} \quad \text{dvs} \quad G = \frac{2}{\hbar} (2mE_\alpha)^{1/2} \int_{R}^{r_c} \left( \frac{r_c}{r} - 1 \right)^{1/2} dr$$

$$= \frac{2}{\hbar} (2mE_\alpha)^{1/2} r_c \left[ \arccos \sqrt{\frac{R}{r}} - \sqrt{\frac{R}{r_c} \left( 1 - \frac{R}{r_c} \right)} \right]$$

$$\text{där } G = \frac{2}{\hbar} \int_R^{r_c} \left[ 2m(V_c(r) - E_\alpha) \right]^{1/2} dr$$

med  $r_c \gg R$

$$\frac{\pi}{2} - \sqrt{\frac{R}{r_c}} \approx \frac{\pi}{2}$$

$$G \approx 4Z_\alpha \left( \frac{2mc^2}{E_\alpha} \right)^{1/2} \frac{\pi}{2} = \left\{ \begin{array}{l} E_\alpha = \frac{mv^2}{2} \\ \frac{m}{2} \beta_\alpha^2 c^2 \end{array} \right\} = 4\pi \alpha \frac{Z}{\beta} \text{ hastighet hos }\alpha\text{-partikeln}$$

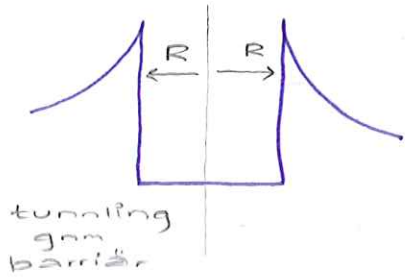
(7.52 b)

relativt  $c$ ,  $\frac{v_\alpha}{c}$

**$\alpha$ -SÖNDERFALL**

$$\text{Gamov-faktor} \quad G \approx 4\pi \alpha \frac{Z}{\beta} \quad (7.52b)$$

Antag att  $\alpha$ -part. "pre-formeras" inuti kärnan, har hastighet  $v_\alpha$  och befinner sig vid barriären med frekvens  $f$



ger oss

$$\lambda = f \cdot p \cdot \omega(\alpha) = \omega(\alpha) \cdot f \cdot e^{-G}$$

$$f = \frac{v_\alpha}{2R} \quad \lambda = \omega(\alpha) \frac{v_\alpha}{2R} e^{-4\pi \alpha \frac{Z}{\beta}}$$

halveringstid :

$$T_{1/2} = \frac{\ln 2}{\lambda} = \frac{2 \ln 2 R}{\omega(\alpha) v_\alpha} e^{4\pi \alpha \frac{Z}{\beta}}$$

$$\log_{10} T_{1/2} = \log_{10} a' + b' \frac{Z}{\beta} = a + b \frac{Z}{\sqrt{E_\alpha}} = Q$$

visade: kunde alltså  
beräkna saker m. kvantmekanik

Geiger-  
Nuttall  
här  
alltså

vill hitta supertunga kärnor

skapa gnm ihop m. medeltung och tung,  
sen separera ut kärnan.

ser på sönderfallskedjan av  $\alpha$ -sönderfall!

genom att se vad som ut, om känner igen,  
ser ex.  $B$   $\alpha$  senare,

t.ex  $Z=115$  ut med  $\alpha$ -partiklar ner till  
en kärna som tyvärr fissionerar

Kan även ha tunneling för tyngre partiklar,  $^{14}C$   
även protoner som tunnlar ut ur en kärna alltså.

# $\beta$ -SÖNDERFALL

väser igen på det:

man var ju länge fundersam över det kontinuerliga spektrumet som man fick av  $\beta^+$ ,  $\beta^-$  sönderfall.

7.7: enligt ovan alltså

$\beta^-/\beta^+$  -emission av  $e^-/e^+$  m. spektrum kont. ända upp till ändpunktsenergin  $E_0 \approx Q$

vart tar energin vägen?

neutrionen, har massa men vet ej vad.

Fermis teori ligger bakom spektrumet!

utgå från störningsteori (svag växelverkan)

gyllene regeln  $w = (\lambda =) \frac{2\pi}{h} |\mathcal{M}_{fi}|^2 n(E)$

$$\text{där } \mathcal{M}_{fi} = \int \Psi_f^*(\vec{r}) \vec{\psi}_i \Psi_i dV$$

antalet  
vid given  
rärelsemängd

styrka på  
växelverkan

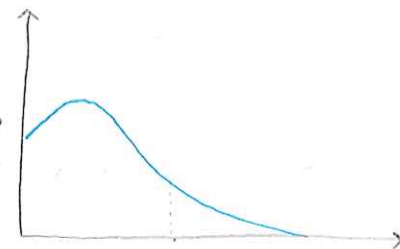
operator

$$N(p_e) = \frac{d\lambda_{fi}}{dp_e} = \frac{G\beta^2}{2\pi^2 \hbar^2 c^3} |\mathcal{M}_{fi}|^2 F(Z, T_e) (Q - T_e)^2 p_e$$

$\beta$ -spektrumet  
har alltså det  
beroende

överlapp

kompensera  
för  
Coulomb



KURIEPLOT:

skriv om ①

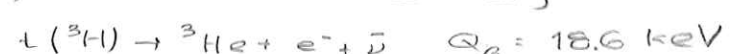
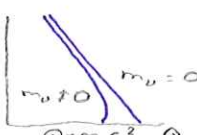
$$(Q - T_e) \propto \sqrt{\frac{N(p_e)}{p_e^2 F(Z, T_e)}} \quad \text{lineariserat alltså}$$

plotta som fkt'n av  $T_e$ , då  $T_e = Q$  ger ju 0  
då kommer heller i princip inga  $e^-$ , dvs  
antal  $e^-$  går mot 0

linearisering fungerar då  $\mathcal{M}_{fi}$  är oberoende  
av kinematik i sönderfallet

neutrinons massa? detaljstudera kurieplot nära  
om  $m_\nu = 0$ , rakt ner hela vägen

$T_e = Q$

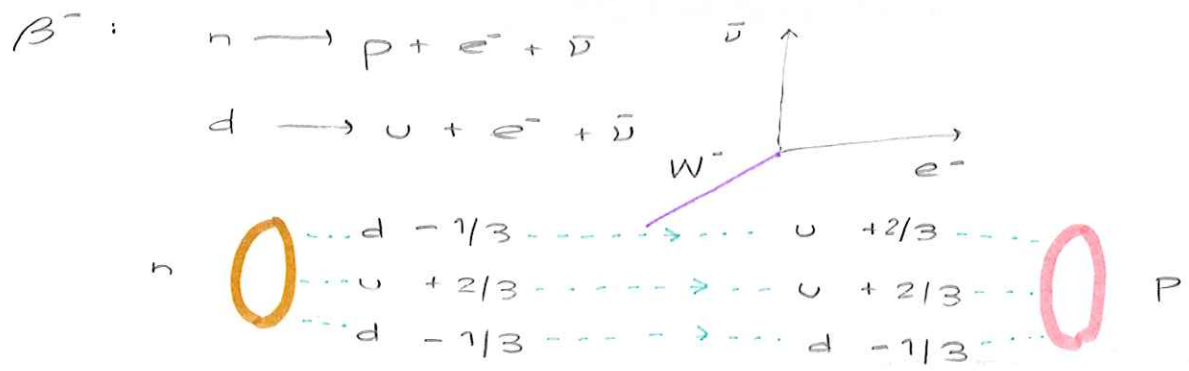


mkt

svårt att mäta!



det får bara de nära 18 keV då  
magnetfält till detektorn

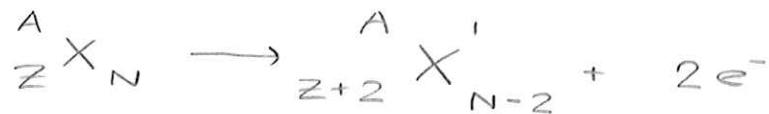


Kan låna energi så länge osäkerhetsrelation  
läter oss!

kan se på hur starkt kopplar upp och ner - krarkar till varann.

matris, kan då se att unitär  
krakmatris mix delarna unitära

# DUBBELT β-SÖNDERFALL



$^{76}_{32} \text{Ge}$  är stabil, ej till  $^{76}_{33} \text{As}$  och  $Q < 0$

men om 2 ner! får ut energi

extra intressant om har ING2 neutrinos



om u kan gå till sin anti partikel

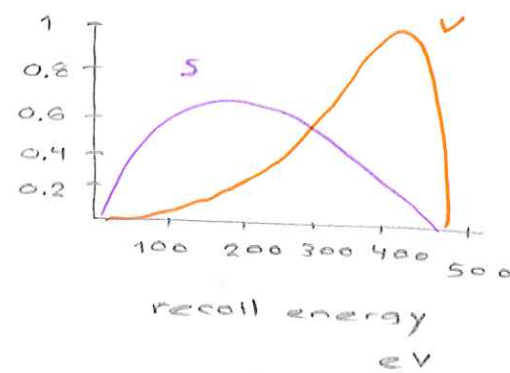
iom just Ge, skulle kunna göra en detektor  
Som även är en källa!

$$\sum E_i = Q$$

strong v.v. operator  $V - A$

Ser på  $\beta^+$  och  $\nu_e$ , skillnad i vinkel får att få om endast skalär ex.

srårt att detektera! kan istället se på kärnan och dess rekyl får med  $P_e \cdot P_\nu$



## 7.8: $\gamma$ -övergångar

kärnan ändras om till mer energimässigt tillstånd efter  $\beta$ -sönderfall.

de-excitation av exciterade tillstånd,  
 $O(100 \text{ keV}) - O(10 \text{ MeV})$ .

se process som en el. magn. multipol operator som verkar på kärnans vågfunktion genom emission av en foton med rörelsemängdsmoment  $L$

$$m_{fi}(\sigma L) = \int \Psi_f^* m(\sigma L) \Psi_i dV$$

$\sigma L$ : E1 - dipol

$$L \quad \pi(E L) = (-1)^L$$

E2 - kvadrupol

$$1 \quad -1 \quad \text{ändrar paritet}$$

⋮

$$2 \quad +1 \quad \text{aförändrad paritet här}$$

M1 - dipol

$$L \quad \pi(M L) = (-1)^{L+1}$$

M2 - kvadrupol

$$1 \quad +1$$

$$2 \quad -1$$

Urvalsregler för ändring av  $J$ :

$$J_i = J_f + \pm$$

$$|J_i - J_f| \leq L \leq J_i + J_f$$

(nästan) alltid det längsta  $L$ -värdet som uppfyller villkoren

Kärnannan iom paritetsskål!

$$\text{ex. } \begin{matrix} 1^+ \\ 0^+ \\ 3/2^+ \end{matrix} \downarrow M_1 \quad \begin{matrix} 1^- \\ 0^+ \\ 5/2^+ \end{matrix} \downarrow E_1 \quad \begin{matrix} 2^+ \\ 0^+ \\ 5/2^+ \end{matrix} \downarrow E_2 \quad \begin{matrix} 1/2^+ \\ 1/2^+ \end{matrix} \downarrow M_2$$

$$\left\{ \begin{matrix} M_1 \\ E_2 \\ M_3 \\ E_4 \end{matrix} \right. \quad L = 1, 2, 3, 4 \quad \text{alltså}$$

relativt kärnspin,  $\gamma$ -energi multipol har olika riktn., foton tar alltid m. sig förcelsemängd

men  $M_3 E_4 10^{-12}; 10^{-13}$  så kan i princip försumma

ej

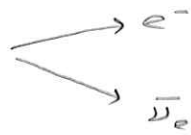
möjlig med

120423

## URVALSREGLER I $\beta$ -SÖNDERFALL:

T  
I  
L  
L  
Ä  
T  
N  
A

e/ $\nu$  - fermioner



antiparallella spin  $\uparrow\downarrow$   $S=0$

Fermisönderfall

$$\Delta J = |J_i - J_f| = 0 \quad \text{ingen ändring}$$

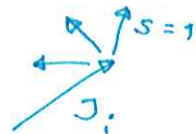
parallella spin  $\uparrow\uparrow$   $S=1$

Gamow-Teller sönderfall

$$\Delta J = |J_i - J_f| = 0, 1$$

SPECIAL:

ej  $J_i = 0$  till  $J_f = 0$  för koppia  
en pkt (då 0) till  $S=1$ , kan ej cancellera



K5, ingen ändring av L

större ändringar i "förbjudna" sönderfall

↳ Ändrar L!

O  
T  
I  
L  
L  
Ä  
T  
N  
A

1a förbjudna

$$\Delta L = 1$$

paritetsändring

$$\Delta J = 0, 1, 2 \quad \begin{matrix} \text{men} \\ \downarrow \text{denna finns inte uran,} \\ \text{med paritetsändring} \end{matrix}$$

2a förbjudna

$$\Delta L = 2$$

oförändrad paritet

$$\Delta J = 0, 1, 2, 3$$

sker m. mkt  
större sannolikhet  
för tillståndet

## Komparativ halveringstid:

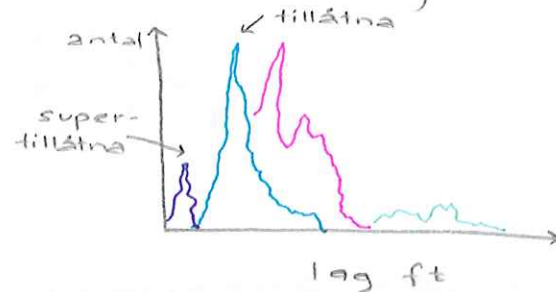
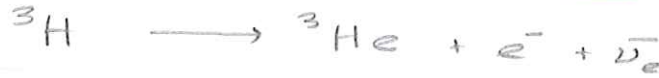
$$f \cdot t_{1/2} \propto (M_f)^{-2}$$

man ser på

$\log(f \cdot t_{1/2})$ , spänner över många strl. ordn.

ger indikation på vilken typ av övergång

## Supertillåten övergång:



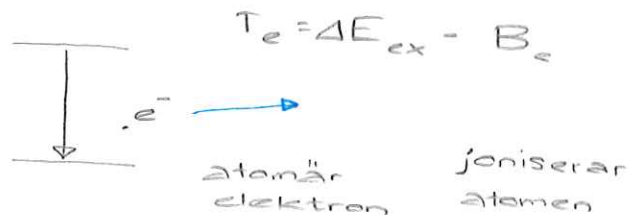
dvs enkelt för naturen att ändra så!

vard gäller  $\gamma$ -sönderfall

## INRE KONVERSION:



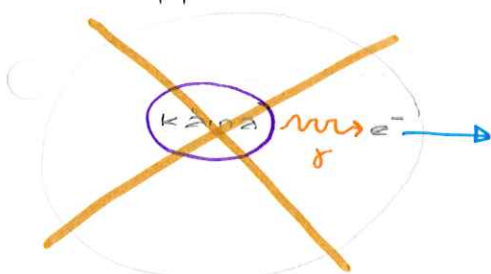
denna är t



Om ser på  $e^-$  spektrum, vissa toppar

434-K, 514-K, 723-K

Ser även i  $\gamma$ -spektrum att motsvarande  
toppar ses här i också



så här trodde man att det var!

$O^+ \rightarrow O^+$  möjligt!

men måste ha minst  $L=1$   
en virtuell foton ...

de inre  $e^-$ -skal involverade, EC och inre  
konversion ex,

m.h.a. röntgen kan få reda på om  
supertung kärna.

# THE STANDARD MODEL.

## CONSTITUENTS

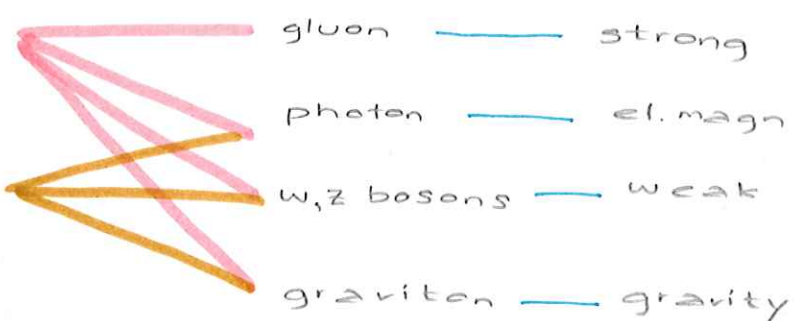
### QUARKS

u c t  
d s b

### LEPTONS

$\nu_e$   $\nu_\mu$   $\nu_\tau$   
e  $\mu$   $\tau$

## FORCES

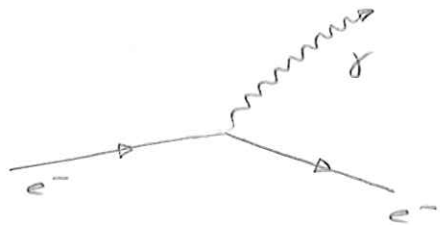


## HIGGS BOSONEN

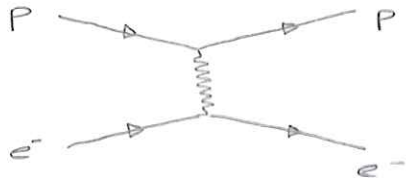
den ger massa till andra partiklar

i kap 1 och kap. 3

## FEYNMAN DIAGRAMS



en virtuell foton



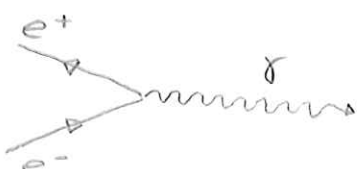
med olika diagram  
kan beskriva högre  
ordning av växelverkan.

antipartiklar



går bakåt i tiden

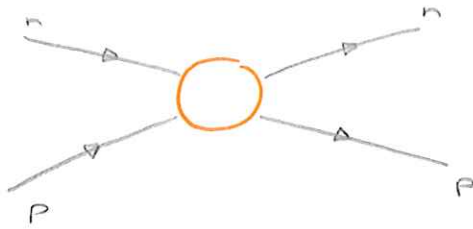
kan annihilera varann



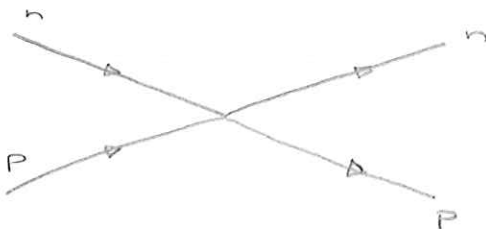
Kan bestämma hur  
många växelverkan  
man tar med och räknar på.

Kan ofta vrida på  
Feynman diagram  
och beskriver ända  
ngt riktigt, verkligt

## STARK VÄXELVERKAN:

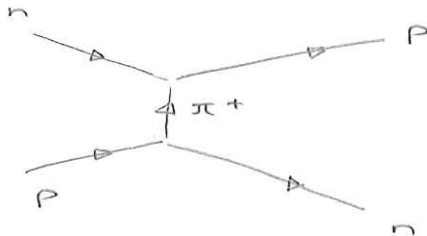


pkt-  
växelverkan

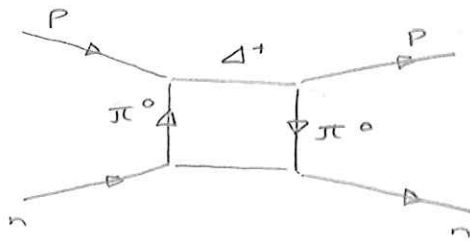


man brukar  
ordna dem  
enligt antal  
växelverkan.

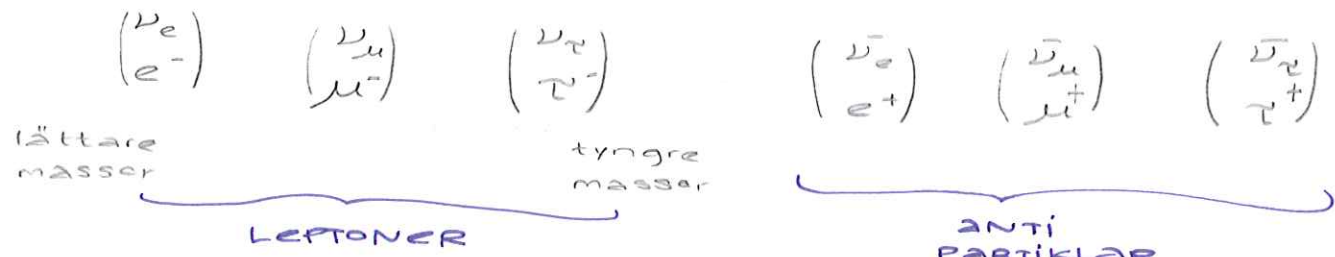
en-pion  
växelverkan



trä-pion  
växelverkan  
(n, A)



### 3.1: Leptoner - lättare "fundamentala" partiklar



$$\text{kvanttal } L_e = 1 \quad L_\mu = 1 \quad L_\tau = 1$$

$$L_{\bar{e}} = -1 \quad L_{\bar{\mu}} = -1 \quad L_{\bar{\tau}} = -1$$

$$\text{massa } 0.511 \quad 105.7 \quad 1777.0 \\ \text{MeV/c}^2 \quad \text{MeV/c}^2 \quad \text{MeV/c}^2$$

#### leptontalskonservering:



$L_e$	0	1	-1	0	}
$L_\tau$	1	0	0	1	
$\text{laddning } e^-$	-1	-1	0	0	

BEVARAT,  
GÖTT!

Vi måste ha att  
 $L_e, L_\tau$  bevarade



$L_e$	0	0	1	-1	}
$e^-$	0	1	-1	0	

BEVARAT!

#### ELEKTRONEN

Lättaste laddade partikeln, dvs. stabil!

Vår för finns det just tre generationer?

Svag växelverkan förmedlas av vektorbosoner  
 $W^\pm/Z^0$

Lätt på bredd hos fördelning  $T = \frac{t}{\tau}$  (1.6.3)

Summan av alla tänkbara sönderfalls kanaler  
är den totala vidden:

$$T = \sum_f T_f \quad (1.76)$$

vi kan studera för  $Z^0$ :

$$T_{\text{tot}} = T_{\text{hadroner}} + T_{\text{leptoner}} + T_{\nu}$$

mät mät mät kan ej mätas!

$$T_{\nu} ? \quad Z^0 \rightarrow \nu_L + \bar{\nu}_L, L = e, \mu, \tau$$

$$T_{\nu} \equiv T_{\nu_e} + T_{\nu_{\mu}} + T_{\nu_{\tau}}$$

termerna blir lika stora,  
likaswert sannolikhet  
för  $L = e, \mu, \tau$

reaktion mer  
sannolik då  
större  $Q$   
likaswert  
sannolikhet  
för alla  $L$

$$m_{\nu_L} \text{raf} < 2 \text{ eV}/c^2 \text{ dvs lika stora}$$

$$m_{\nu_L} \ll M_{Z^0}/2 \text{ sannolikhet för alla } L$$

om så liten vilamassa

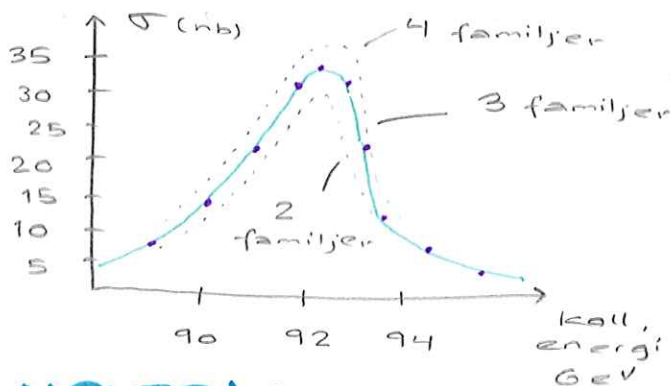
hos  $\nu_L, \bar{\nu}_L$ , kommer i princip all  $E$  från  $M_{Z^0}$  bli kinetisk energi

TÄNK:

rattentank, vet hur mkt ut tot, och ur 2 av 3 hsl.

om fler än tre st, blir fler i  $T_{\nu}$ , stämmer ej  
får  $N = 3.00 \pm 0.08$

träsnitt



## NEUTRINON

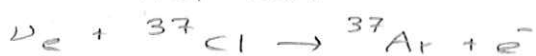
dess massa  $m_{\bar{\nu}_e} < 2 \text{ eV}/c^2$   ${}^3\text{H}$ -sönderfall

hur detektera  $\nu$ ? ex.  $\nu_e + n \rightarrow p + e^-$  mkt litet  $\sigma$  för denna process

Davies fylldes tank med  $\text{C}_2\text{Cl}_4$

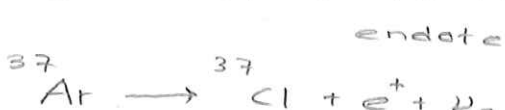


i kärnor ex.



laddade partiklar,

dvs. kan mäta bra!



$$\text{endoterm } Q = -0.81 \text{ MeV}$$

räkna antal sönderfall,

se hur många  $\nu$  från solen

modell (sun):  $7.3 \pm 2.3 \text{ SNU}$

exp:  $2.55 \pm 0.17 \pm 0.18 \text{ SNU}$

120425

## NEUTRINER FRÅN SOLEN

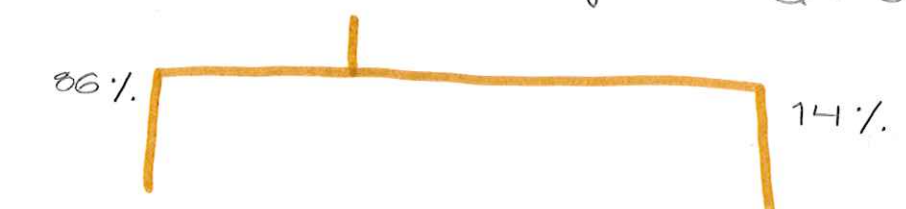
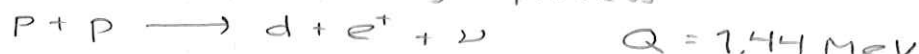
PP-kedjan

Vad händer i solen?

Fusion, helium

PP-KEDJAN

Fusion är svag VV process



trillar  
isär  
jam  
 ${}^6\text{Be}$   
ostabil



14%

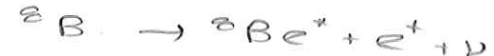
14%

både stark em.  
VV och svag VV,  
långsam process!

TUR så  
sol ej  
brinner  
så fort

0.02%

$e^-$ -infångning  
 $P \gg \beta^+ + Q \ll 0$



chain I

chain II

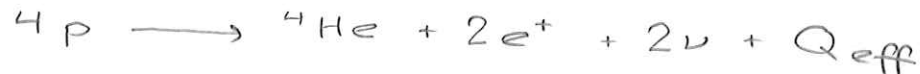
$$Q_{\text{eff}} = 26.2 \text{ MeV}$$

$$Q_{\text{eff}} = 25.66 \text{ MeV}$$

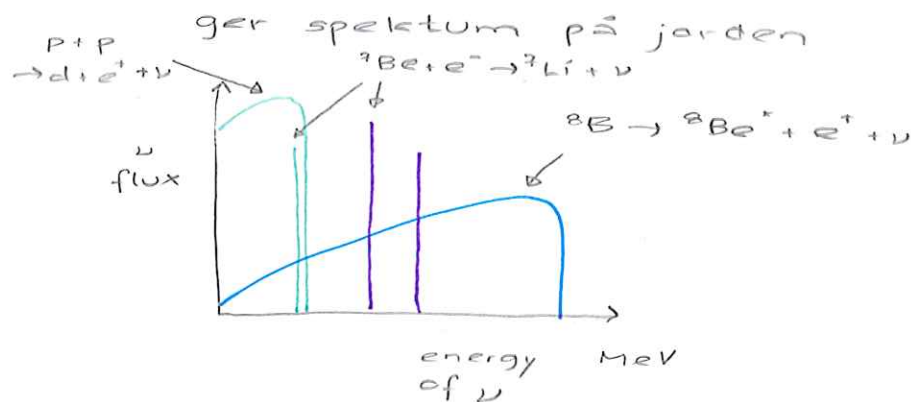
chain III

$$Q_{\text{eff}} = 19.17 \text{ MeV}$$

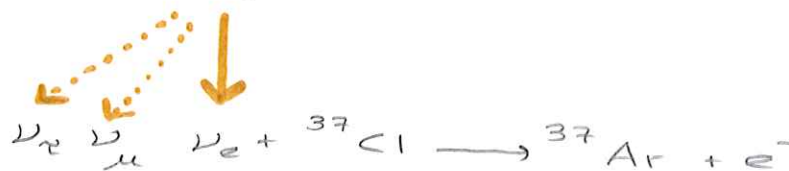
### NET RESULT:



Neutrinerna tar m. energi, åker ut från solen



beroende på  
rad detektorer  
är gjorda av,  
detektera  
olika låg E



$$(E_\nu)_{\min} = 0.81 \text{ MeV}$$

modell:

$$7.3 \pm 2.3 \text{ SNU}$$

## NEUTRINOOSCILLATIONER?

dvs då  $\nu_e$  när jorden kan ha blivit  $\nu_e, \nu_\mu$  ex.

exp: systematisk  
 $2.55 \pm 0.17 \pm 0.18 \text{ SNU}$   
 statistisk

vi antar att neutrinon har massa, men att egentillstånden för **SMAK** och **MASSA** inte är identiska

flavour:  
 $e^-, \mu, \tau$   
 $\alpha, \beta$

$i, j$  - 2 generationer

en blandningsvinkel, "mixing angle"

$$\nu_\alpha = \nu_i \cos \theta_{ij} + \nu_j \sin \theta_{ij}$$

$$\nu_\beta = -\nu_i \sin \theta_{ij} + \nu_j \cos \theta_{ij}$$

antag att  $\theta_{ij} \neq 0$  och

$$m_i \neq m_j, m_{ij} > 0$$

två olika koordinatsystem för smak och massa!  
 ej överlapp mellan smak & massa

$\nu_\alpha$  vid  $t=0$  kan vi skriva:

$$|\nu_\alpha, \text{IP}\rangle = |\nu_i, \text{IP}\rangle \cos \theta_{ij} + |\nu_j, \text{IP}\rangle \sin \theta_{ij} \quad (1)$$

vid  $t > 0$ :

$$|\nu_\alpha, \text{IP}\rangle = a_i(t) |\nu_i, \text{IP}\rangle \cos \theta_{ij} + a_j(t) |\nu_j, \text{IP}\rangle \sin \theta_{ij} \quad (2)$$

om känner till energin  $E$ , får ett tidsberoende hos rågfkt'n

där (tidsutv. av ett kranttilstånd)

$$a_i(t) = e^{-iE_i t / \hbar}$$

$$|\nu_\beta, \text{IP}\rangle = -a_i(t) |\nu_i, \text{IP}\rangle \sin \theta_{ij} + a_j(t) |\nu_j, \text{IP}\rangle \cos \theta_{ij} \quad (3)$$

vi vill ha ② på formen

$$A(t) |\nu_\alpha, P\rangle + B(t) |\nu_\beta, P\rangle \quad \nu_\alpha \text{ istället för } |\nu_\alpha, P\rangle$$

② + ③ ger oss

$$\nu_\alpha \sin \theta_{ij} + \nu_\beta \cos \theta_{ij} = \nu_j$$

$$\nu_\alpha \cos \theta_{ij} - \nu_\beta \sin \theta_{ij} = \nu_i$$

sätter in det i ②

1 SNU  
=  $10^{-36}$   
neutrino  
captures  
per second  
per target  
atom

$$\begin{aligned} \nu_\alpha(t) &= \bar{\nu}_i(t) \cos \theta_{ij} (\nu_\alpha \cos \theta_{ij} - \nu_\beta \sin \theta_{ij}) \\ &\quad + \bar{\nu}_i(t) \sin \theta_{ij} (\nu_\alpha \sin \theta_{ij} + \nu_\beta \cos \theta_{ij}) \\ &= \underbrace{[\bar{\nu}_i(t) \cos^2 \theta_{ij} + \bar{\nu}_i(t) \sin^2 \theta_{ij}]}_{A(t)} \nu_\alpha \\ &\quad + \underbrace{[\cos \theta_{ij} \sin \theta_{ij} (\bar{\nu}_i(t) - \bar{\nu}_j(t))]}_{B(t)} \nu_\beta \end{aligned}$$

sannolikhet för  $\nu_\beta$  med  $\nu_\alpha$  vid  $t=0$ :

dvs går från  
1 typ av  
neutrino  
 till en annan

$$\begin{aligned} P(\alpha \rightarrow \beta) &= |B(t)|^2 = |\sin^2 \theta_{ij} \cos^2 \theta_{ij} [e^{-iE_j t/\hbar} - e^{-iE_i t/\hbar}]|^2 \\ &= \sin^2(2\theta_{ij}) \sin^2 \left[ (E_j - E_i)t / 2\hbar \right] \quad ④ \end{aligned}$$

$$E_j - E_i = (E_{ij} \gg m_{ij}) \approx \frac{m_j^2 c^4 - m_i^2 c^4}{2pc} \quad (3.30)$$

$$E \approx pc \quad t = \frac{L}{c} \quad \text{kan ersätta alltså}$$

④ ger oss

$$\sin^2(2\theta_{ij}) \sin^2 \left( \frac{L}{L_0} \right) \quad \text{med } L_0 = \frac{4E(\hbar c)}{(m_j^2 - m_i^2)c^4} > 100 \text{ km}$$

beror på  $\theta_{ij}$  och avstånd

massskilnad

om t.ex på CERN så  $L/L_0 \ll 1$  ster

men om på solen  $L/L_0$  större!

$$\theta_{13} = 8.8^\circ \text{ sagt i år!}$$

observerar i ngt som heter SNO ( $D_2O$ )

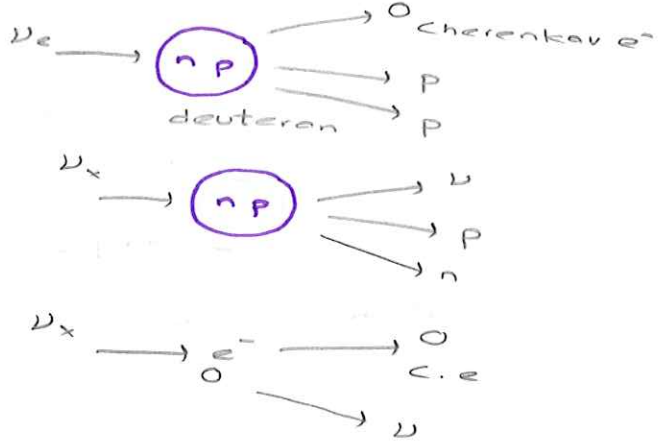
charged-current CC  
 $\nu_e$  bara

neutral-current NC  
 lika känslig  $\nu_e, \nu_\mu, \nu_\tau$

elastic scattering ES

flux

$$\phi_{CC} < \phi_{ES} < \phi_{NC}$$

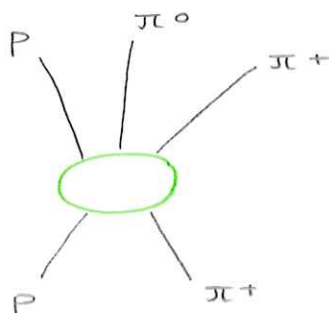


$\nu$  oscillerade över till andra, därför ej kunde mäta korrekt på  $\nu'$ arna.

Leptontalet är ej fullständigt bevarat, men vi behöver ej oroa oss :)

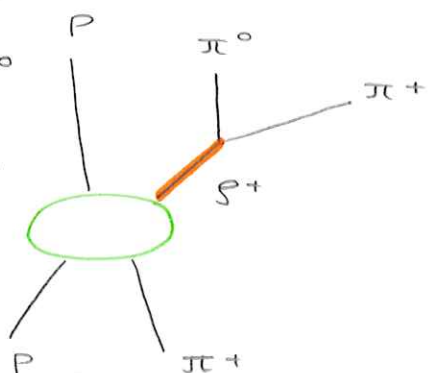
### 3.3: Hadroner

sammanställning av kvarkar, 3 st eller 2 st



$$\begin{aligned} \pi^+ + P &\rightarrow \rho^+ + P \\ &\downarrow \quad \quad \quad \downarrow \\ \pi^+ + P &\rightarrow P + \pi^+ + \pi^0 \end{aligned}$$

MESONER  
finns i mkt  
kort tid!



2 olika varianter, hur vet om hade intermediär partikel eller ej?

bilda INVARIANTA MASSAN : invariant under Lorentz transf.  
 i.e. vilomassan

$$\pi^+ + P \rightarrow \rho^+ + P$$

$$\downarrow \quad \quad \quad \downarrow$$

$$\pi^+ + \pi^0$$

$$-m_\rho^2 c^2 = P_{\rho^+}^2 = (\not{P}_{\pi^+} + \not{P}_{\pi^0})^2$$

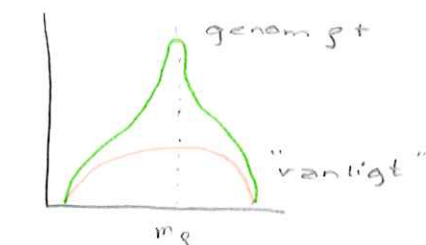
totala 4-vektorn  
samma!

$$P = [P_x, P_y, P_z, \frac{E}{c}] [+, +, +, -]$$

$$P^2 = P^2 - \frac{E^2}{c^2} = -m^2 c^2$$

bredden

livslängden



studrar hadraner just genom deras  
sönderfallsprodukter.

PÅ 50-60talet : PARTIKELEXPLSIONEN

skapade kvarkmodellen, exp. bevis 391

bygger upp 2 typer av partiklar från kvarkar:

# BARYONER

999

P, n, Δ, Ω

MESONER

9 1

π, <, 5

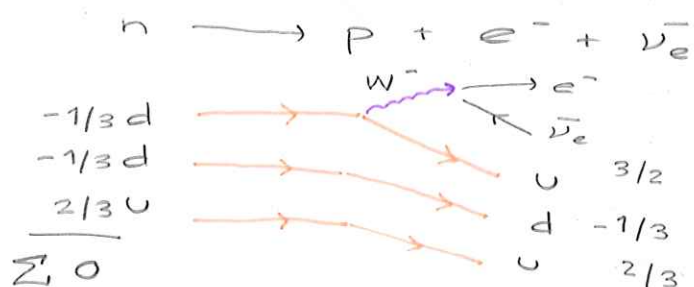
försöker få ut en q  
där ur, kräver så  
mkt energi att  
enklare att skapa  
ett  $q\bar{q}$ -par, en meson!

## Kvark generationer

Q	up	charm	top
$\frac{2}{3}$	$(u)$	$(c)$	$(t)$
$-\frac{1}{3}$	$(d)$	$(s)$	$(b)$
	down	strange	bottom

anti-kvarkar

spins 1/2



n har magn.  
moment som  
den består  
av laddade  
partiklar

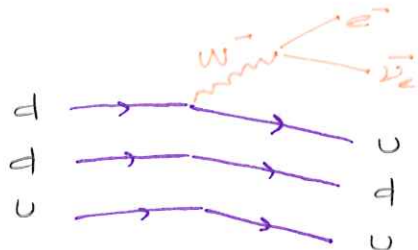
## 3.2: Kvarkar

$$\begin{pmatrix} \frac{2}{3} \\ -\frac{1}{3} \end{pmatrix} \begin{pmatrix} u \\ d \end{pmatrix} \begin{pmatrix} c \\ s \end{pmatrix} \begin{pmatrix} t \\ b \end{pmatrix}$$

och antikvarkar

spinn 1/2

$$n \rightarrow p + \bar{e} + \bar{\nu}_e$$



kvarkar kan förändras i svag växelverkan  
men bevaras i stark och el. magn växelverkan  
 $-q\bar{q}$ -par kan skapas / förintas

baryontal konserveras alltid:

$$B = N_q/3 = [N(q) - N(\bar{q})]/3$$

## 3.3.1: Isospin

starka växelverkan är oberoende av smak,  
u/d är nästan ekvivalenta

alltså: vi kan ordna in partiklar / kärnor i multipletter med isospin  $I$  och projektion  $I_3$

pionen  $\pi^+$   $\pi^0$   $\pi^-$

$I=1$   $I_3 = 1$   $0$   $-1$

kvarkar  $(u\bar{d})$   $(u\bar{u}, d\bar{d})$   $(\bar{u}d)$   
lågjär  
kombo

den medlem m,  
störst pos. laddning  
får störst värde

på projektion

litet skift i massa  
p.g.a Coulomb-vv

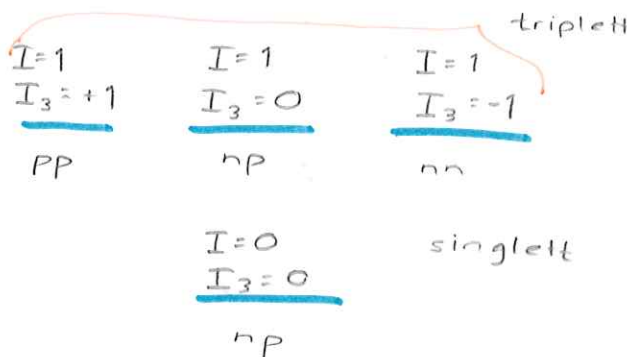
proton och  
neutron

$I=1/2$   $I_3 = 1/2$

P

n

$-1/2$



om vi kan ta bort Coulombvrr barde få rägfktn som är oberoende av n eller p, bara antal A, kan se det t.ex för  $^{14}_6 C_8$ ,  $^{14}_7 N_7$ ,  $^{14}_8 O_6$  dvs. samma energi, hör till 1,0,-1  $O^+$  tillstånd då, även 1- nivån lika

### 3.3.2: Kvarkmodellen

vissa partiklar fick särtalet (strangeness)

$$S = -N_s = -(N(s) - N(\bar{s}))$$

ex. kaoner	$K^+$	$K^0/\bar{K}^0$	$K^-$
kvarkar	$(u\bar{s})$	$(d\bar{s}, \bar{d}s)$	$(\bar{u}s)$
massa MeV/c <sup>2</sup>	494	498	

på samma sätt:

$$C = N_c = (N(c) - N(\bar{c}))$$

$$\tilde{B} = N_b = \dots$$

$$T = N_t = \dots$$

### HYPERLADDNING:

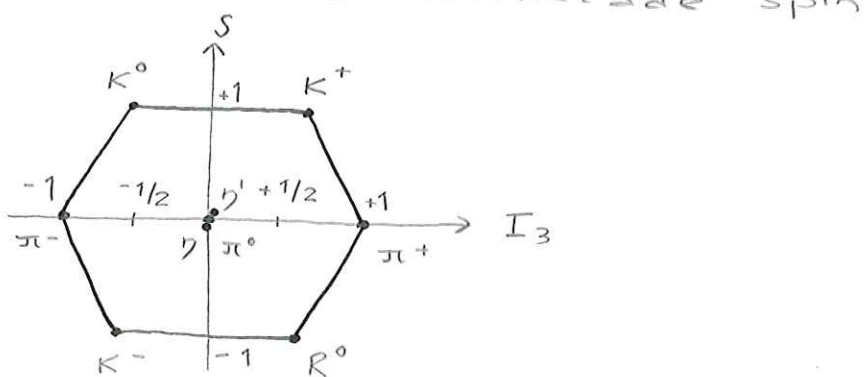
$$Y = B + S + C + \tilde{B} + T$$

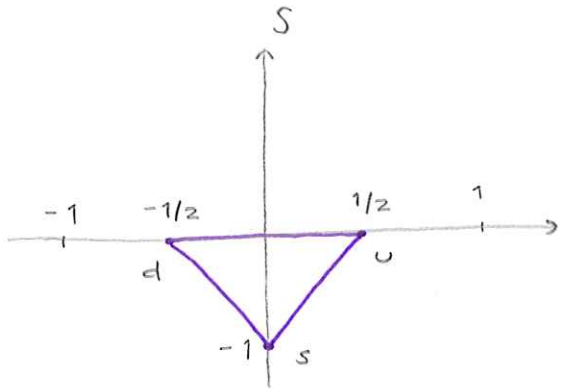
bevaras i stark och el. magn. vv.

$Y$  mot  $I_3$  men mer pedagogiskt med

se på spin-0-mesoner  
dvs metrikade spin

S mot  $I_3$





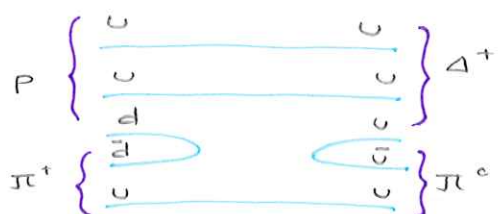
se på alla möjliga kombinationer av de tre: d, u, s med antikrarkar får hexagon som beskriver de alla.

i baryoner: inga antikrarkar, komb u, d, s får hexagon igen

då  $I = 3/2$  kan ha uuu, sss, ddd även

$\Delta^0, \Delta^+$  se som exciterade tillstånd av n, p fast med spinn  $3/2$

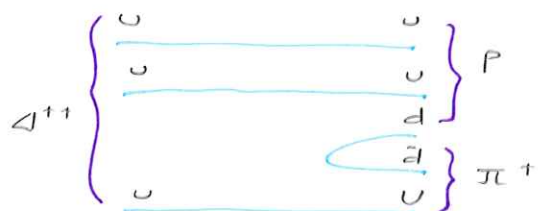
reaktion:



annihileras!

$d\bar{d}$  ut m. energi

sönderfall:



$\pi^0$  lever en kort stund, mkt kortlivad, kan annihileras el. magn. sönderfall, mkt svagare än stark vv,

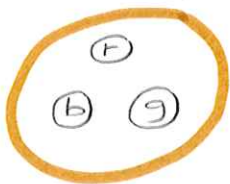
# KAP. 5: Starka växelverkan QCD

Krarkmodellen framgångsrik,  
men hur förklara ex.  $\Omega^- = sss$ , 3 fermioner  
med spin  $1/2$

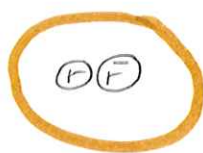
Vi måste införa ännu ett krantal -

**FÄRG** - varje krark har ett färgtillstånd  
enbart färglösa partiklar  
existerar, blanda för att få

{ RÖD  
GRÖN  
BLÅ



baryoner



mesoner

då blir totala vågfunktionen:

$$\Psi = \Psi_{\text{space}} (\text{ir}) \Psi_{\text{spin}} \Psi_{\text{colour}}$$

enligt Pauli:

$\Psi_{\text{colour}}$  antisymmetrisk vid utbyte av  
två identiska partiklar.

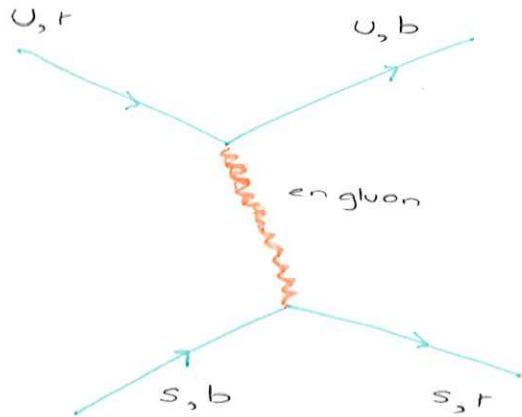
tre lika krarkar

spinn	$3/2$	$1/2$
	$\uparrow\uparrow\uparrow$	$\uparrow\uparrow\downarrow, \uparrow\downarrow\uparrow$

Ej samma att byta på de två sätten.  
ej symmetrisk alltså

## 5.2: QCD kvantkromodynamik, läs i appendix D

Krarkar (6 st.) och antikrarkar, med färg (3 st.)  
gluon - färgbytande utbytespartiklar (8 st.)

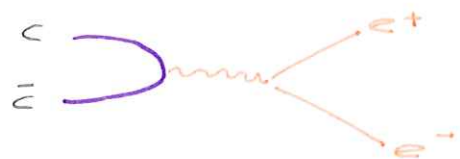


starka växelverkan  
på kerta avstånd!  
dvs ej prata om  
innan för ej  
relevant frihetsgrad,  
utbytes partikel

## 5.3: Charmionum

$J/\psi$ -meson  $c\bar{c}$  ( $3097 \text{ MeV}/c^2$ )

Kan ej sönderfalla till  
lättare meson i  
stark växelverkan,  
men med svag!



OZI-undertryckt sönderfall

lång livstid, mkt väldefinierad i massa

## 5.7: Färg-experimentella tester

titta på  $e^+e^-$ -kollisioner -

ví har en relation mellan skapande av

$$e^+ + e^- \rightarrow q + \bar{q} \quad \text{hadroner}$$

$$(spredning) \quad \rightarrow \mu^+ + \bar{\mu} \quad \text{muoner i annihilation-} \\ \text{scattering} \propto q^2, \text{ dock tankeexperiment ännu ty-} \\ \text{processer}$$

$R = \frac{\sum_i \sigma(e^+e^- \rightarrow q_i \bar{q}_i)}{\sigma(e^+e^- \rightarrow \mu^+\bar{\mu})} = \frac{\text{antal ej fria krarkar}}{N_c (e_u^2 + e_d^2 + e_s^2 + e_b^2 + \dots)} = 11 N_c$

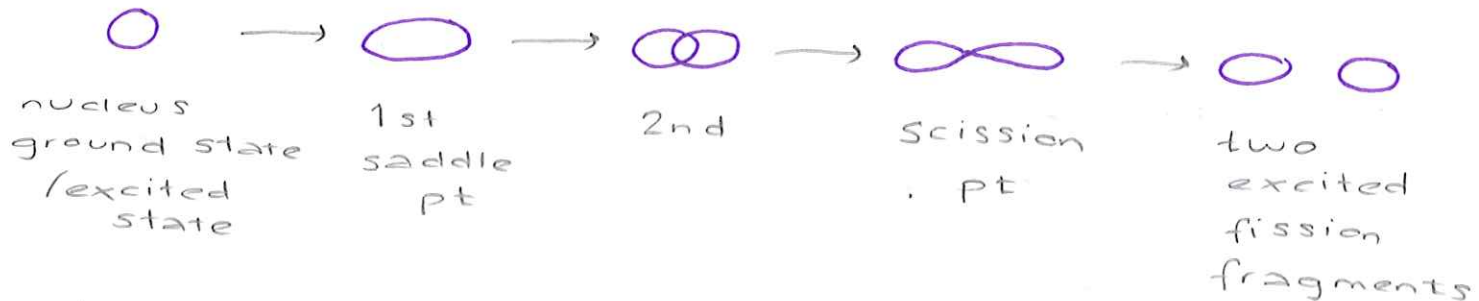
$$\text{kot konstant m.a.p } E \quad 1$$

$$\frac{1}{q}$$

120507

# Fission

liquid drop model

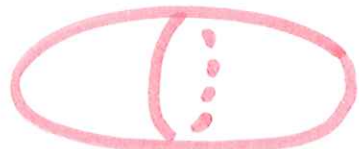


bindn. energi:

$$B = \alpha_v A - \alpha_s A^{2/3} - \alpha_c Z(Z-1) A^{-1/3}$$

$$- \alpha_{\text{sym}} \frac{A-2Z}{A} + \delta$$

ellipsoid



$$a = R(1 + \varepsilon) \quad \text{semimajor}$$

$$b = R(1 + \varepsilon)^{-1/2} \quad \text{semiminor}$$

excentrisitet för ellipsoider:  $\varepsilon = \beta \sqrt{\frac{5}{4\pi}}$

surface and coulomb energy terms will change in reaction

$$E_s = \alpha_s A^{2/3} \left( 1 + \frac{2}{5} \varepsilon^2 + \dots \right)$$

$$E_c = \alpha_c Z^2 A^{-1/3} \left( 1 + \frac{1}{5} \varepsilon^2 + \dots \right)$$

$$\Delta E = B(\varepsilon) - B(\varepsilon = 0)$$

$$= -\alpha_s A^{2/3} \left( 1 - \frac{2}{5} \varepsilon^2 + \dots \right) - \alpha_c Z^2 A^{-1/3} \left( 1 + \frac{1}{5} \varepsilon^2 + \dots \right)$$

$$+ \alpha_s A^{2/3} + \alpha_c Z^2 A^{-1/3}$$

$$= \left( -\frac{2}{5} \alpha_s A^{2/3} + \frac{1}{5} \alpha_c Z^2 A^{-1/3} \right) \varepsilon^2$$

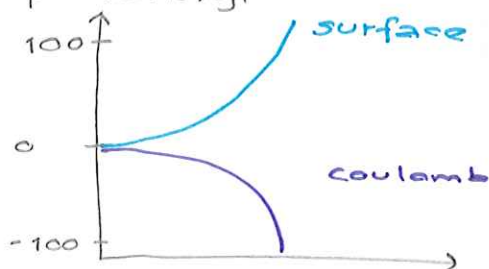
$$\Rightarrow \frac{1}{5} \alpha_c Z^2 A^{-1/3} > \frac{2}{5} \alpha_v A^{2/3}$$

$$\frac{Z^2}{A} > 47$$

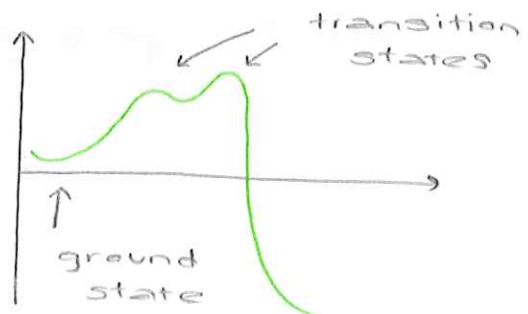
för att fission ska ske

Coulombenergin minskar då längre ifrån varann, ytenergin ökar.

pot. energi



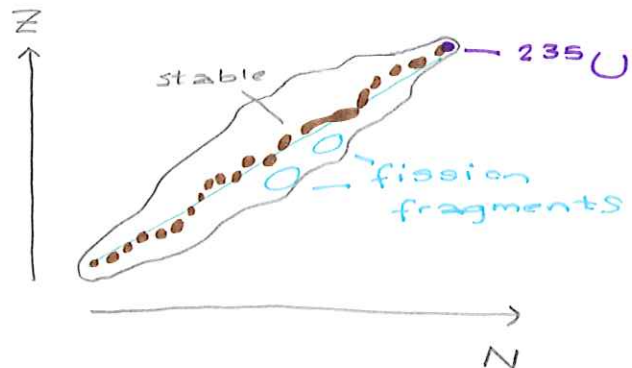
$\Rightarrow$



vid fission får alltid en lite tyngre kärna och en lättare,

$\sim 100$  och  $140$  u

WHY?



de hamnar på en linje från  $^{235}\text{U}$

för man delar bara så proportionen  $P/n$  blir samma

den tyngre massan blir samma,

ober av ämne från början,

den lilla massan ändras.

$\sim Z = 82$  blir två kärnor lika stora

även om för  $^{235}\text{U}$  i nukleidkarta

jobbig matte,  $\epsilon$  större, parametrisera mer

"macroscopic - microscopic calc"

tröskel energi för symmetrisk fission,  
krävs mer E för att ske.  
Ser på "potential energy structure"  
spelar ej röll om i exciterat tillstånd,  
kan excitera kärnan så får fission.

## HUR EXCITERA?

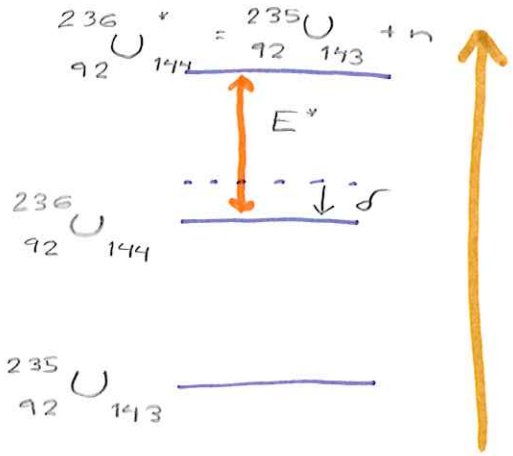
Kan tunna gnm barriären som för  
 $\alpha$ -sönderfall.

$^{238}\text{U}$  kan spontant fissionera  
men näldigt vanligt för låga E.

inkommende E fördelats jämnt över  
kärnan till följd av kollisioner.

tänk: biljardbollar i en grop

fission: look at as very large vibration



lowered, more tightly bound

has enough energy even if

	$^{236}\text{U}$	$^{239}\text{U}$
activation energy	6.2 MeV	6.6 MeV
excitation energy	6.5 MeV	4.8 MeV

Diagram illustrating activation and excitation energies for  $^{236}\text{U}$  and  $^{239}\text{U}$ . Activation energy is the energy required to bring the nucleus to its ground state. Excitation energy is the energy required to bring the nucleus to an excited state. Fission is possible for  $^{236}\text{U}$  at 6.5 MeV excitation, while it is unlikely for  $^{239}\text{U}$  at 4.8 MeV excitation.

lägger till n till  $^{235}\text{U}$ , kommer fissionera för  $^{238}\text{U}$  funkar ej!

at LOW n energies, huge cross-sections for  $^{235}\text{U}$

exciterar m. n och kan fissionera



get rid of energy by emitting n, of excited state from fission

en distribution av neutron-antal, statistiskt fördelat

en del kärnor  $\beta^-$ -decay till nivå som ändå är över energi ut med neutroner!

de kommer senare, viktiga!

kan kontrollera reaktioner

moderator för vid hög E

går σ ner istället!

$S_n$

# FUSION

$$\frac{1 \text{ eV}}{k_B} = \dots = 11604 \text{ K}$$

room  $k_B T = 2.6 \cdot 10^{-2} \text{ eV}$

stellar int.  $k_B T = 1.3 \text{ keV}$

super-nova deuteron



Problem: cross-sections

$$\sigma \propto \frac{1}{v^2} e^{-2G} \quad \text{in P not available energy enough for reactions}$$

$$\sigma_{ab} = \frac{S(E)}{E} e^{-\sqrt{\frac{E_g}{E}}} \quad \text{tunneling is key mechanism for energy in stars}$$

prob. to find particle w/ velocity  $v$

$$P(v) dv = \sqrt{\frac{2}{\pi}} \left(\frac{m}{kT}\right)^{3/2} e^{-\frac{mv^2}{2kT}} v^2 dv$$

rate  $R = n_a n_b \underbrace{\langle \sigma_{ab} v \rangle}_{}$

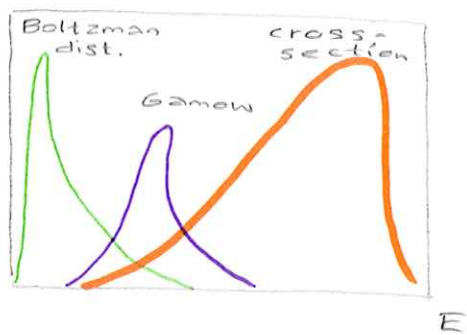
$$= \int_0^\infty \sigma_{ab} v P(v) dv$$

$$R_{ab} = n_a n_b \left(\frac{8}{\pi m}\right)^{1/2} \left(\frac{1}{kT}\right)^{3/2} \int_0^\infty S(E) e^{\left(-\frac{E}{kT} - \frac{(E_g)^{1/2}}{E}\right)} dE$$

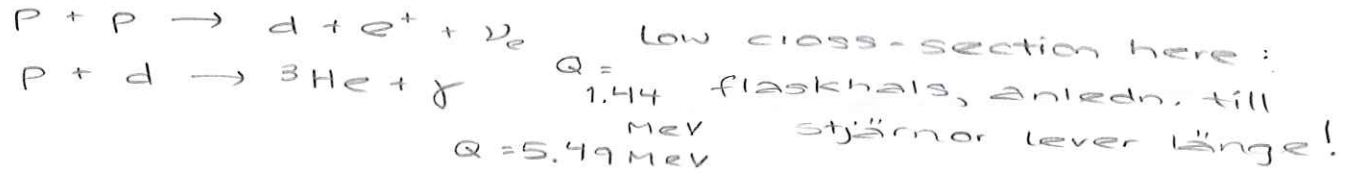
$$E_g = 2nc^2 (\pi \alpha Z_1 \cdot Z_2)$$

charge of the two colliding parts

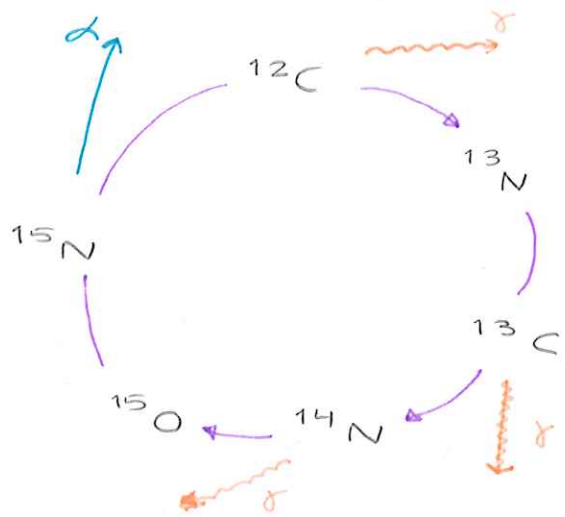
### The Gamow window



in the **SUN**, get energy mostly from



the CNO cycle:



hard to measure since  
occur at low  $E_\gamma$ ,  
very low  $\sigma$ !  
reactions w/  
charged particles  
e.g. p,  $\alpha$ , HI

# 6.1+6.7:

Svag växelverkan och elektronsvag unifiering.

för växelverkan m. utbytespartikeln  $X$

Kan vi skriva en växelverkansamplitud som

$$M(q^2) = \frac{g^2 h^2}{q^2 - M_X^2 c^2} \quad (1.51) / (6.1)$$

kopplingskonstant/styrka

massan  
av utbytespartikel

↑  
rörelse-  
mängdstransfer

för elektromagnetisk:

foton är utbytespartikel,  $M_\gamma = M_\gamma = 0$   
dvs. därför oändlig räckvidd.

för svag:

$W, Z$  bosoner  $M_X = M_{W,Z} \approx 78 \text{ GeV}/c^2$

antag att  $g_{em} \approx g_{svag}$ , ger

täljare  
ungefärl  
samma

små  $q^2$  - el.magn. dominerande  
för  $M_\gamma = 0$  dvs närmare

bör vara liten

för de två

$q^2 \gg M_X^2 c^2$  - liknande styrka

olika

svag och e.m.

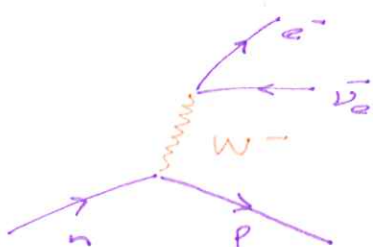
$M(q^2)$

alltså

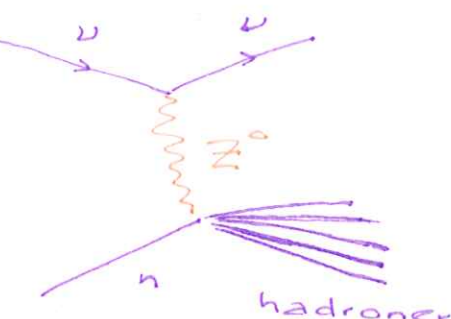
## UNIFIERING

strömmar i svag växelverkan:

laddade



neutrala



plötsligt  
en SKUR  
ut!

med  
hadroner

$W^\pm \rightarrow e, \nu_e$  ser på det sönderfallet  
 $\mu, \nu_\mu$  och studerar bredden i  
 $\tau, \nu_\tau$  invarianta massan  
 livstiden : experimentellt  
 (bredden ger 't')

$$T = 2\alpha_w M_w c^2 / 3 \leftarrow \text{alla leptoner är lika sannolika vid hög energi}$$

$$\alpha_w = \frac{g_w^2}{4\pi\epsilon_0hc} \text{ relatera } \alpha = \frac{e^2}{4\pi\epsilon_0hc}$$

$$\approx 0.6\alpha$$

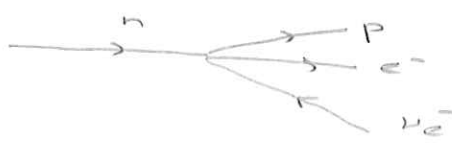
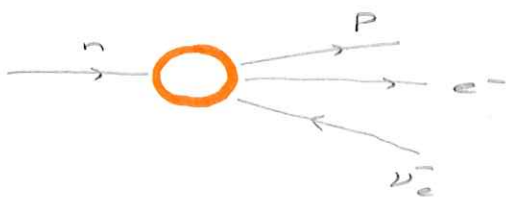
som vi antog, dvs att de ej skiljer sig så mycket, svag och el.magnetisk

vi kan relatera styrkan på svag och elektromagnetisk genom en "mixing angle":

$$\frac{e}{2(2\epsilon_0)^{1/2}} = g_w \sin \theta_w = g_Z \cos \theta_w \quad (6.85)$$

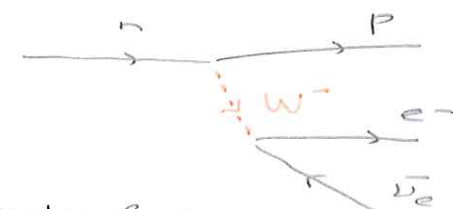
kot mellan de olika typerna  
är bosoner:

$$\cos \theta_w = \frac{M_w}{M_Z}$$



pt interaction

INDIREKTA mätningar  
av svag växelverkan vid  
läga energier - betasönderfall,  
muonsönderfall



$$\rightarrow g_w$$

jämföra laddade/ neutrala strömmar

$$\sin^2 \theta_w = 0.227 \pm 0.014 \rightarrow g_z \rightarrow \theta_w$$

$$M_w = 78 \text{ GeV}/c^2$$

$$M_Z = 89 \text{ GeV}/c^2$$

$$W^\pm \rightarrow e^\pm + \nu$$

sönderfaller framför allt så

$$Z^0 \rightarrow e^+ + e^-$$

180° mot varann  
kunde man  
detektera

"spikar" för

$e^+$  : 50 GeV

$e^-$  : 46 GeV

## 6.2:

Symmetrier i svag  
växelverkan.

charge      parity      time

C

P

T

Paritet

$$\text{Ir} \rightarrow -\text{Ir}$$

$$W \rightarrow -W$$

Klassiskt, icke-  
relativistiskt

$$\text{Ir} \times \text{P} = m(\text{Ir} \times W)$$

$$\rightarrow m(-\text{Ir}) \times (-W) = \text{Ir} \times \text{P}$$

symmetri runt  $\pi/2$

- paritet bevaras

experimentellt fler  $e^-$  vid stora  $\theta$

Paritet ej bevarad vid svag vv

vidare experimentellt, även C är bruten

men kombinationen CP bevarad hos leptoner

CPT alltid (?) bevarad - partikel / antipartikel  
har samma massa



spinet är oförändrat,  
ej vinkeln

## CP-brrott i hadroner i svag växelverkan

svag  
växel-  
verkan  
kan  
omvändas  
dem,  
då  $Q, B$  bevaras

$$K^0 = d\bar{s} \quad \left. \begin{array}{l} \\ \end{array} \right\}$$

$$\bar{K}^0 = \bar{d}s \quad \left. \begin{array}{l} \\ \end{array} \right\}$$

linjärkomb.  $K_L^0 \sim 5 \cdot 10^{-8} \text{ s}$

$K_S^0 \sim 9 \cdot 10^{-11} \text{ s}$

livstid  
sönder-  
falla  
gått  
CP-brrott  
är en i  
B-mesoner

$$K_L^0 \rightarrow e^+ + \nu_e + \pi^-$$

$$\bar{K}_L^0 \rightarrow e^- + \bar{\nu}_e + \pi^+$$

balans mellan materia,  
dvs borde ha mkt  
mer antimateria!

## HIGGSBOSONEN

växelverk. partikel, Higgsfältet ger upphov till massa.

vid tillräckligt höga energier påverkas ej massan så mkt. vid låga energier kan det ske symmetribrott.

sista byggstenen  $H^0$

MSSM  $\rightarrow$  flera Higgsbosoner

# DET TIDIGA UNIVERSUM.

Hubble - hastighet är proportionellt mot avstånd.

- Big Bang
  - CMB
  - Big Bang Nucleosynthesis

expansion?

kritisk densitet:

$$\rho_c = \frac{3 H_0^2}{8\pi G} \approx 5.1 (\text{GeV}/c^2) / \text{m}^3$$

universums expansion avstannar oändligt långsamt, densiteten motsvarar

5 protoner / m<sup>3</sup>.

FÖRSUMBAR  
↙

OBESKRIVLIG  
KOSMOLOGIKA  
ISKA  
↙ KONSTANTER

$$\Omega = \frac{\rho}{\rho_c} : \Omega = \Omega_{\text{tot}} = \Omega_r + \Omega_m + \Omega_\Lambda$$

OTILLRÄCKLIG

kosmologiska konstanten

till följd av mörk materia / energi.

mörk energi som drar isär universum

atomer 4 %.

mörk materia 23 %.

mörk energi 73 %.

DET SOM  
FINNS I  
UNIVERSUM

## HUR BILDAS TUNGA ELEMENT?

fusion bortom pp-kedjan

$3\alpha$ -processen



osannolikt om  
inte är så att  
kommer till ett  
exciterat tillstånd  
hos  ${}^{12}\text{C}$

$3\alpha$ -tröskeln: 7,275

exciterat  ${}^{12}\text{C}$ : 10,3

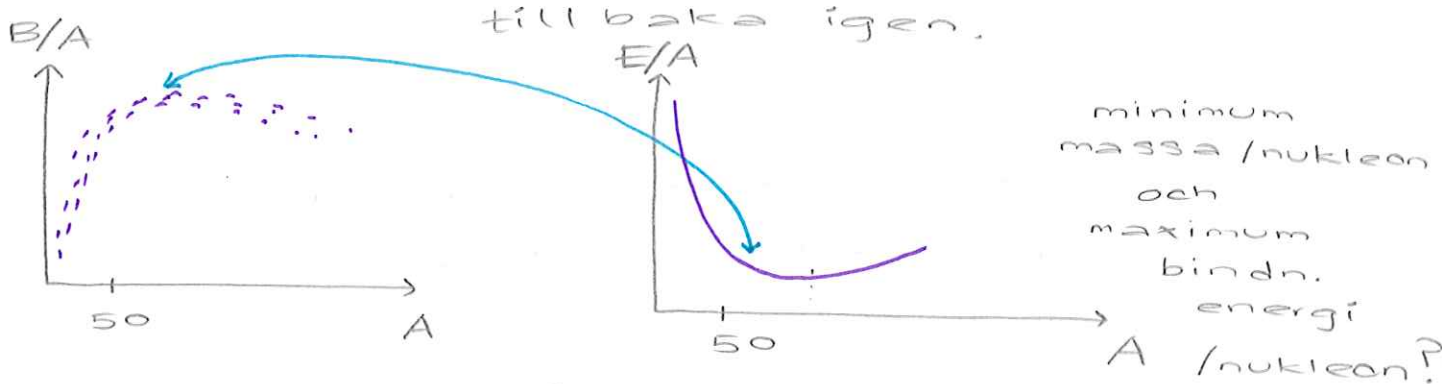
grund tillståndet för  $^{12}\text{C}$  är precis ovanför  $3\alpha$ -tröskeln, därför inte sannolikt hur  $^{12}\text{C}$  bildas, påverkar hur fort stjärnor brinner, högre temp. då går det mkt fortare

## CNO-CYKELN:

efektivare än pp-kedjan för den börjar med svag vv.



het CNO: kan komma ända upp till  $^{20}\text{Na}$  den läcker då ur processen, annars går det tillbaka igen.



slutprodukter:  $^{56}\text{Ni}$ ,  $^{56}\text{Co}$ ,  $^{56}\text{Fe}$   
där allt slutar

## S-PROCESS: slow process

kan genom  $\beta^-$ -sönderfall klättra uppåt i nukleidkarten då plackar upp neutroner

## R-PROCESS: rapid process

många  
plackar upp neutroner innan sönderfaller  
genom  $\beta^-$  och flyttar sig snabbt  
framåt i nukleidkarten

får jämrikt för neutroner kan spjälkas  
av från kärnan vid  $^{68}\text{Fe}$  då absorberar  
 $\gamma$ -strålning.

detta neutronflöde som ger t och s-  
process kan hittas i supernova I  
eller II.

typ I : vit dvärg som genom gravitation  
drar in närliggande stjärna

→  $^{122}_{50}\text{Sn}$  50 magiskt tal har  
många stabila  
isotoper

$^{122}\text{Sn}$  och högre A kan endast fås  
från r-process, däremot kan  $^{122}\text{Te}$   
fås från r-process då stabila kärnor  
är i vägen.

s - processen följer stabiliteten,  
r - processen långt utanför får  
diskontinuitet vid magiska tal,

$(n, \gamma) \rightleftharpoons (\gamma, n)$   $B_n$  minskar  
ökande N

jämriket mellan  
n och  $\gamma$ -strål.

# REPETITION.

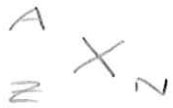
byggstenar i sub-världen:

nukleoner

$n/p$  (isospin)



komplexa atomkärnor



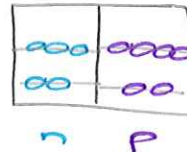
- deuteron modellsystem

ATOMKÄRNNANS  
EGENSKAPER:

- massa  $\leftrightarrow$  bindn. energi, param. SEMF indikationer på  $n-n$  vv, parkrafter, kvanttilstånd

- radie

- spinn  
- paritet }  $\Rightarrow$  SKALMODELLEN  
realistisk pot.



spinn-banekoppling  
 $j = l + s$

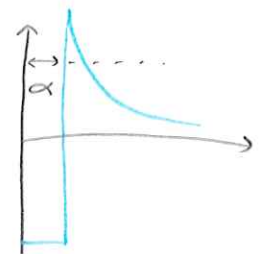
SÖNDERFALL:

Coulomb

- $\alpha$  • kamta av EM och stark vv  
realistiskt ex. på tunnling  
• Gamowfaktor

- $\beta$  • strag vv och Fermisteori  
G.R  
tillståndstäthet

behöver  $\omega$  för att förklara  
sönderfalliet!



- $\gamma$  • EM vv, egentligen omorganisation  
av kärnan

urvalsregler  $\longleftrightarrow$  multipolaritet  
inre konversion

sönderfallet ger upphov till:

strålning - växelverkan



detektion  
/skydd

enkla  $\rightarrow$  sammansatta



/ komplexa detektorer

## LEPTONER

e

$\nu_e$

$\mu$

$\nu_\mu$

$\tau$

$\nu_\tau$



leptontal

oscillationer  
smak, färg

## KVARKAR

$(u)$   $(d)$   $(c)$   $(s)$   $(t)$   $(b)$   
 $Q$   
 $+2/3$   
 $-1/3$

kan beskriva:

hadroner - baryoner  
/ mesoner  
 $q\bar{q}$

- kvarkmodellen

QCD - (färg),  
baryontal,  
särtal, topness

bevaras i

stark vv

men ej i

svag



hyperladdning



## STANDARDMODELLEN



## UTBYTESPARTIKLAR.

EM  $\gamma$  foton

stark g gluon

$(\pi, e, \dots)$

svag  $W^\pm, Z^0$  bosoner väldigt tunga

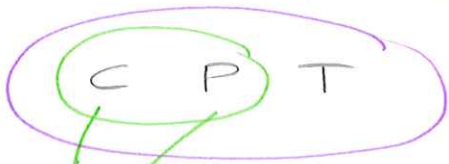
gravitation graviton

partiklar därför svag

(ej bevisad)

Higgs?

## SYMMETRIER



BRYTS ej!

charge, parity, time

CP - brott

BRYTS CP  
Men i vissa  
FALL

TILLÄMPNINGAR:

### Fission

• naturen / reaktorer

Parterm =  $^{235}/^{238}U$

$\beta$ -fördräjd neutronemission

• från  $\beta$ -sänderfall, gör att  
man kan styra reaktionshast.  
• reaktorer

Gamow

### FUSION

PP- cykeln      D, SNO

CNO- cykeln

r och s-process

